

이사부 창의과제

'한반도 주변 영역의 유의파고 정보 제공을 위한 위성 활용 연구'

Satellite Application Research on Sea Surface Wave
Height Information around the Korean Peninsula

2016. 09. 30.

한 국 해 양 과 학 기 술 원

제 출 문

한국해양과학기술원장 귀하

본 보고서를 “한반도 주변 영역의 유의파고 정보 제공을 위한 위성 활용 연구”과제의 최종보고서로 제출합니다.

2016. 9.

과제책임자 : 홍 성 욱

참 여 연 구 원 : 권 영 주

“ : 신 하 안

보고서 초록

과제번호		연구기간	2015. 8. 1. ~ 2016. 7. 31.		
과제명	한반도 주변 영역의 유의파고 정보 제공을 위한 위성 활용 연구				
과제책임자	홍성욱	참여연구원수	총 : 3 명 내부: 3 명 외부: 명	연구비	40,000,000 원
연구기관명 및 소속부서명	세종대학교 환경에너지공간융합학과				
국제공동연구					
요약(연구결과를 중심으로 개조식 500자 이내)				보고서 면수	65
<p>○ 과제 목표</p> <ul style="list-style-type: none"> - 한반도 주변 영역의 유의파고 정보 제공을 위한 위성 활용 연구 <p>○ 과제 내용</p> <ul style="list-style-type: none"> - 마이크로파 위성기반 유의파고 정보 산출기술 개발 <p>○ 과제 결과</p> <ul style="list-style-type: none"> - GCOM-W1/AMSR-2 활용한 해상풍 정보와 유의파고 관계식 도출 - 한반도 주변 해상 부이 관측자료를 이용한 산출된 유의파고 정보의 검증 <ul style="list-style-type: none"> • 산출된 유의파고는 오차는 약 -0.29m, RMSE는 약 0.58m 정도임 <p>○ 연구 성과</p> <ul style="list-style-type: none"> - SCI급 국제논문 1편 게재 - 국내특허 1건 출원 					
색인어 (각 5개 이상)	한 글	한반도, 유의파고, 마이크로파, 위성, 원격탐사			
	영 어	Korean Peninsular, Significant Wave Height, Microwave, Satellite, Remote Sensing			

요 약 문

I. 제 목

- 한반도 주변 영역의 유의파고 정보 제공을 위한 위성 활용 연구

II. 과제의 목적 및 필요성

○ 과제의 목적

- 국내외적으로 모델기반의 유의파고 정보 산출에 비해, 직접적인 광범위 위성관측 유의파고 정보 생산할 수 있는 기술 확보
- 한반도 주변 영역의 유의파고 정보 제공을 위한 위성 활용 연구 (위성자료로부터 해상의 유의파고 정보 산출)

○ 과제의 필요성

- 유의파고 정보 직접 관측은 주로 우리나라 연안에서 실시간 이루어지고 있음
- 대부분 유관기관들은 WAM 같은 파랑모델을 기반으로 주로 파고정보를 생산중임
- 위성 고도계는 매우 낮은 시간 해상도와 매우 좁은 영역만 관측가능하기에, 10일 평균자료를 이용한 사후분석에 유용함

III. 과제의 내용 및 범위

○ 과제의 내용

- 위성에 탑재된 마이크로파 복사계(Radiometer) 관측을 이용한 한반도 주변 유의파고 정보 생산기술 연구

○ 과제의 범위

- GCOM-W1/AMSR-2 활용한 해상풍 정보와 유의파고 관계식 도출
- 한반도 주변 해상 부이 관측 자료를 이용한 산출된 유의파고 정보의 검증

IV. 과제결과

- GCOM-W1/AMSR-2 활용한 해상풍정보와 유의파고 관계식 도출 및 적용
 - 널리 사용되는 Beaufort scale과 유사하한 형식으로, 한반도 주변에 최적화된 GCOM-W1/AMSR-2의 6.9 및 10GHz 파장에 적합한 새로운 해상풍 정보와 유의파고 사이의 관계식 (Hong scale) 도출
- 한반도 주변 해상 부이관측자료를 이용한 산출된 유의파고 정보의 검증
 - 한반도 주변 동해, 서해, 남해에서 직접 관측한 유의파고와 본 연구에서 산출된 유의파고 정보 사이의 비교 검증 실시

V. 과제결과의 활용계획

- 해양정보 모니터링
 - 모델, 부이관측, 위성관측을 통한 유의파고 정보 시너지 효과를 통해, 한반도 주변 유의파고 정보 모니터링 및 현업에 활용
- 재해 및 안전
 - 태풍 및 쓰나미 등 파고가 높아질 때 조기 모니터링하여 대비하는 데 활용
- 기후변화 감시
 - 기후변화에 따른 서해, 남해, 동해의 유의파고 변동성 분석에 활용

SUMMARY 및 KEY WORDS

I. Title

○ Satellite Application Research on Sea Surface Wave Height Information around the Korean Peninsula

II. Purpose

○ Research on satellite application for providing the significant wave height around the Korean Peninsular

III. Contents

- Development on the retrieval technique for significant wave height information based on microwave satellite observations
 - Derivation of a relationship between significant wave height and sea surface wind speed using GCOM-W1/AMSR-2 observations
 - Validation of the retrieved significant wave height information using buoy-based observations

IV. Expected Contribution

- Application for public and private users
- Application for climate change studies as a basic parameter

(KEY WORDS : 한반도, 유의파고, 마이크로파, 위성, 원격탐사; Korean Peninsular, Significant Wave Height, Microwave, Satellite, Remote Sensing)

C O N T E N T S

Chapter 1. Introduction

Chapter 2. Previous Works

Chapter 3. Methods and Results

Chapter 4. Achievements

Chapter 5. Expected contribution and applications

Chapter 6. References

Chapter 7. Patent

목 차

제 1 장 서론

제 2 장 국내외 기술개발 현황

제 3 장 과제수행 내용 및 결과

제 4장 과제목표 달성도 및 대외기여도

제 5 장 과제결과의 활용계획

제 6 장 참고문헌

제 7 장 특허명세서

제 1 장 서론

1절. 과제의 목적

본 연구과제의 목적은 다음과 같이 분류하여 기술할 수 있다.

1. 중·장기적 목적

가. 국내외적으로 모델기반의 유의파고 정보 산출에 비해, 직접적인 광범위 위성관측 유의파고 정보 생산할 수 있는 기술 확보

2. 단기적 목적

가. 한반도 주변 영역의 유의파고 정보 제공을 위한 위성 활용 연구 (위성자료로부터 해상의 유의파고 정보 산출)

2절. 과제의 필요성

본 연구과제의 필요성을 국내외 동향 및 기존 연구의 문제점을 기술하여 보완하는 방식으로 다음과 같이 기술하고자 한다.

1. 국내·외 연구동향 및 기존연구의 문제점

가. 국내외 연구동향

(1) 기상청, 해양연구원, 국립해양조사원 등 유관기관들이 유의파고 정보 활용에 관련 있다.

(가) 직접 관측은 주로 우리나라 연안에서 실시간 이루어지고 있음

(나) 국립해양조사원은 파고정보를 0.18미만, 0.18~0.36m, 0.36~0.54m, 0.54~0.72m, 0.72m이상으로 구별하고 제공중임

(다) 해양연구원에서는 주로 WAM (WAMDI group, 1988)과 같은 파랑모델기반으로 장기파랑산출자료를 만들고 있음

(라) 파랑모델의 입력 자료로는 ECMWF(Uppala et al., 2016)와 같은 수치모델자료가 많이 활용되고 있음

(마) 따라서 위성기반 준 실시간 모니터링 기술은 매우 부족한 상황임

(2) 유의파고 관측 및 예측 자료

(가) 많은 연구 및 현업기관에서 국내와 마찬가지로 WAM같은 파랑모델을 기반

으로 주로 파고정보를 생산중임

(3) 위성 고도계 기반 유의파고 정보

- (가) 주로 Jason, TOPEX/POSEIDON, ERS-1/-2등 고도계(Altimeter)의 위성자료를 이용함
- (나) 이들 위성에 탑재된 고도계 관측 자료로부터 유의파고 정보를 산출하며, 부이자료들을 이용하여 검증을 하고 있음
- (다) 선행 연구들에 의하면, 알려진 위성 고도계의 정확도는 약 10%이내이며, 대략 0.25m~0.5m정도의 에러를 가지는 것으로 알려져 있음

나. 기존연구의 문제점

(1) 해상관측 장비 부족

- (가) 한반도 주변 해상에서의 직접관측 장비가 부족하여, 넓은 해상에 비해 매우 적은 직접관측 정보만 획득 가능함
- (나) 값비싼 해상 직접관측 장비의 확대가 어려운 예산상의 문제가 존재

(2) 위성 산란계 및 복사계의 약점

- (다) 직접적 유의파고 산출자료 부재: 해상풍의 풍속이나 풍향관측에 유용하나 직접적으로 유의파고 정보를 산출하지는 못함

(3) 위성 고도계의 약점

- (가) 매우 낮은 시간 해상도: 10여일 지나야 동일 지역을 관측할 수 있는 시간해상도 때문에 준 실시간 활용이 어려움
- (나) 매우 좁은 공간 관측폭: 매우 좁은 영역만 관측가능하다는 약점이 존재
- (다) 따라서 10일 평균자료를 이용한 사후분석에 유용

다음 그림은 2012년에 우리나라에 영향을 주었던 태풍 블라벤에 대한 트루 칼라 영상(왼쪽 그림)과 블라벤이 지나간 태풍 경로를 따라 관측이 가능했던 Jason-2의 시공간 위치를 표시한 그림(오른쪽 그림)을 나타냄. 태풍 블라벤이 발생하여 우리나라로 발달 하면서 진행 중이어서 유의파고 정보가 매우 중요한 상황임에도 불구하고, Jason-2자료는 시간적으로 관측 횟수가 매우 부족할 뿐만 아니라, 공간적으로 관측 폭도 매우 좁아서 광범위 관측 및 실시간 정보로써 가치가 매우 적음을 알 수 있음.

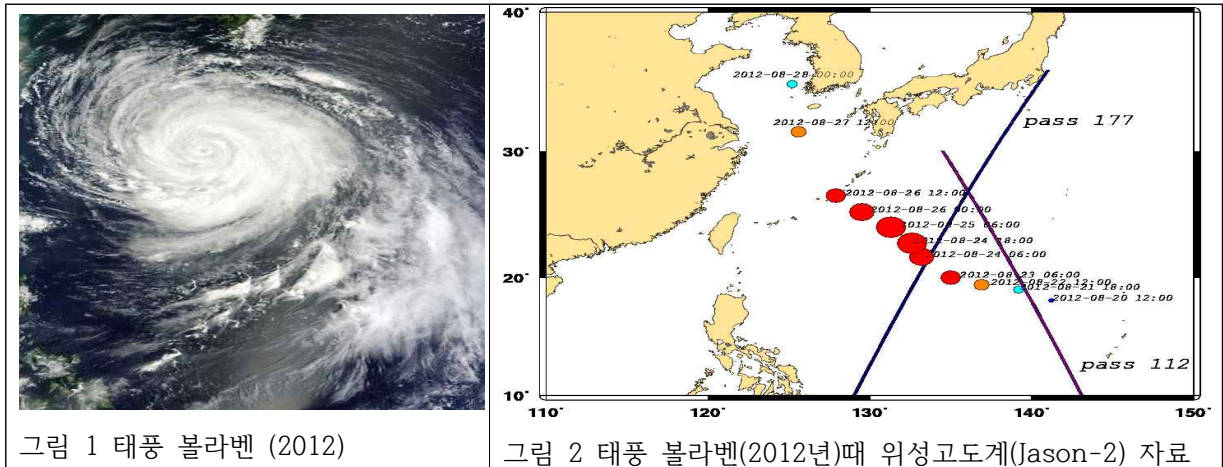


그림 1 태풍 블라벤 (2012)

그림 2 태풍 블라벤(2012년)때 위성고도계(Jason-2) 자료

3절. 과제의 범위

국내외에 이전에 없던 독창적 위성활용 기술개발을 하기 위해서, 본 연구 과제에서 개발될 내용의 범위는 다음과 같다.

1. 마이크로파 위성기반 유의파고 정보 산출기술 개발
2. GCOM-W1/AMSR-2 활용한 해상풍정보와 유의파고 관계식 도출

이를 위해서 마이크로파 위성은 복사계(Radiometer)를 탑재한 위성을 활용하고, 복사계를 탑재한 위성의 장점인 기존 고도계가 탑재된 위성보다 월등히 향상된 시공간 관측 범위(Swath)에서 유의파고 정보가 산출될 수 있도록 하고, 기존 위성 고도계의 약점인 10여일 만에 재관측이 가능하던 것을 일 1회 이상 유의파고 정보가 산출될 수 있도록 하려 한다. 다음 그림은 본 연구과제에서 사용될 GCOM-W1 위성이 한 번에 관측하고 지나가는 폭(Swath)과 위성고도계인 Jason-1 위성이 관측하고 지나가는 폭을 나타낸 그림이다. 상대적으로 매우 넓은 범위의 관측이 수행될 수 있음을 공간적으로 보여주고 있다.

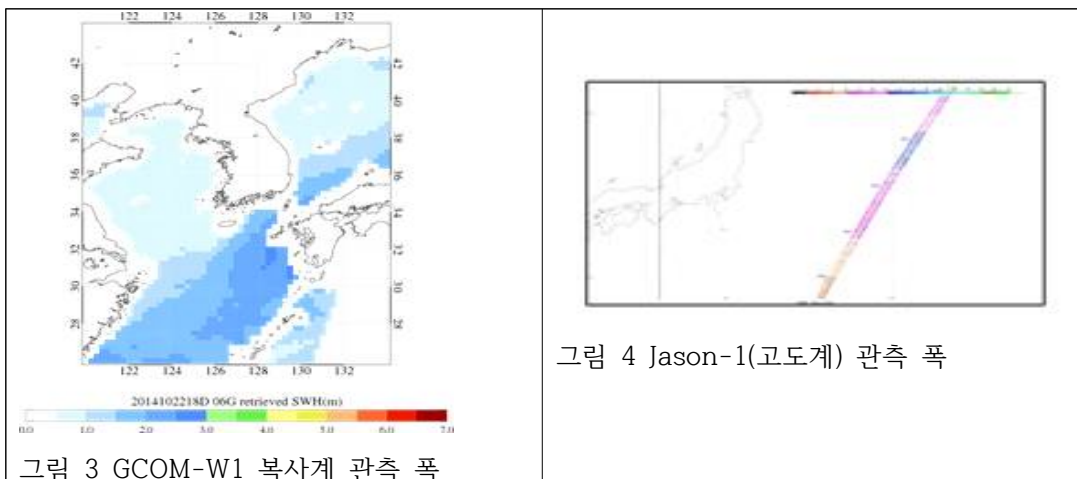


그림 3 GCOM-W1 복사계 관측 폭

그림 4 Jason-1(고도계) 관측 폭

제 2 장 국내외 기술개발 현황

1절. 국내외 기술조사

1. 국내외 선행연구

가. 해상풍과 파고의 특성

해상풍과 파고 정보는 지역적 특성 즉, 바다의 깊이(depth)와 해안가(coastline)의 특성에 따라 다른 분포를 보인다.

(1) 해상풍 (Wind speed)

(가) 주요 특성

북해(North sea) 같은 경우, 0 ~ 20 m/s 정도의 풍속 분포를 가지고 있으며, 5m/s 정도에서 피크를 보인다. 다른 바다인 하와이 연안과 같은 경우는 0에서 15m/s 정도의 풍속 분포를 가지고 있으며, 7m/s 정도에서 피크를 보인다.

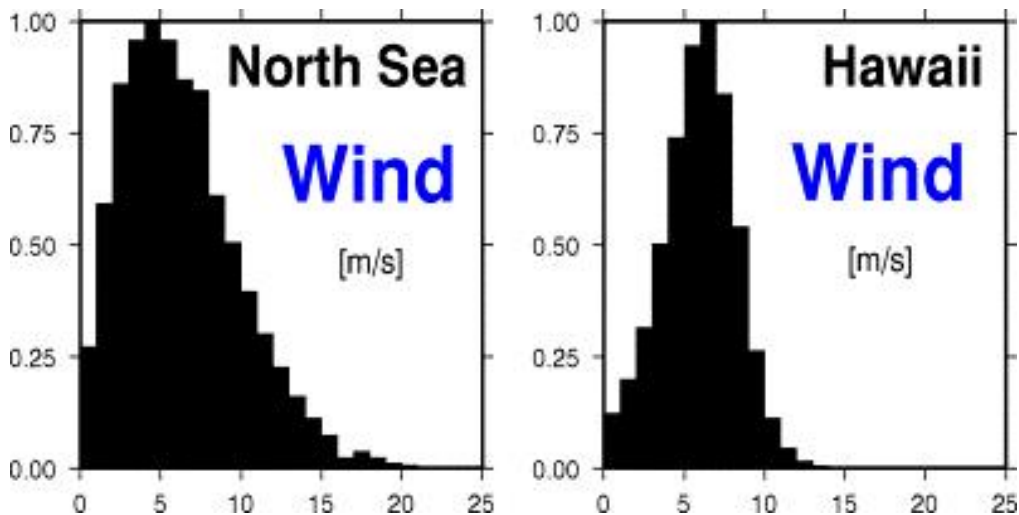


그림 5 Normalized distribution of wind speed in the North Sea (Elbe estuary) and offshore Hawaii

(2) 유의파고 (Significant Wave Height (SWH))

(가) 주요 특성

북해(North sea) 같은 경우, SWH는 주로 0.5 m 이하이다. 반면에 하와이 연안과 같은 경우는, SWH는 약 2m 정도이다 (Schöne and Eickschen, 2000).

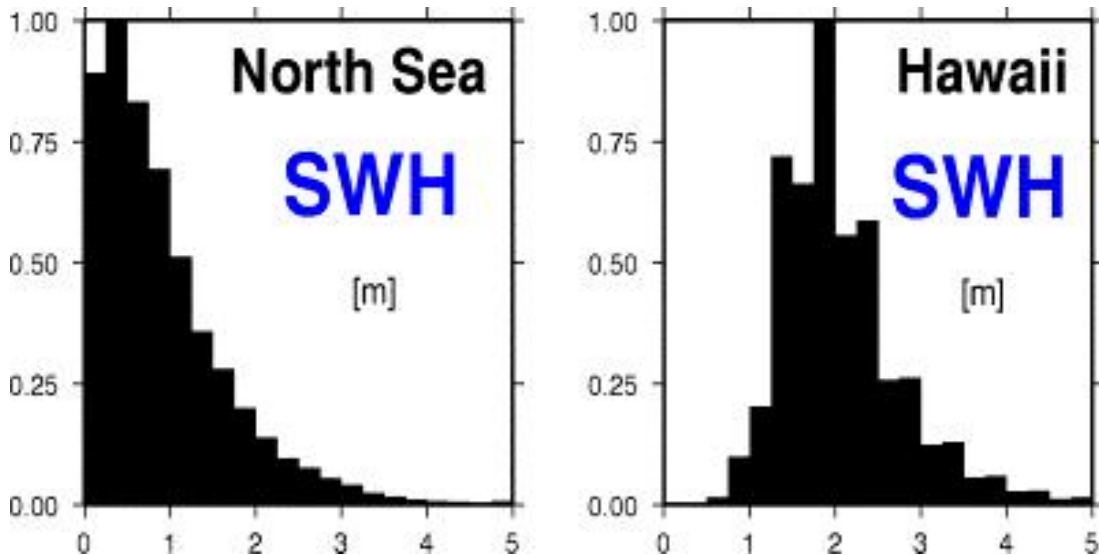


그림 6 Normalized distribution of SWH in the North Sea (Elbe estuary) and offshore Hawaii

(나) 부이자료를 이용한 파고정보 직접관측

① NDBC buoy data (SWH):

㉠ 주요 관측요소

- 해상풍(Wind speed)와 파고(SWH)

㉡ 주요 관측지점

- 해상풍(Wind)만 산출하고 파고(SWH) 관측없음

㉢ 주요 특징

- 각기 다른 유형의 부이를 사용중이며,
- 하와이근처에서만 6미터 NOMAD 부이들을 현업적으로 사용중이다.

* 원격탐사용 위성의 SWH 조건표 생산을 위해, 다른 부이자료들 보다는 깊이가 깊은 하와이 주변의 부이자료를 주로 사용한다.

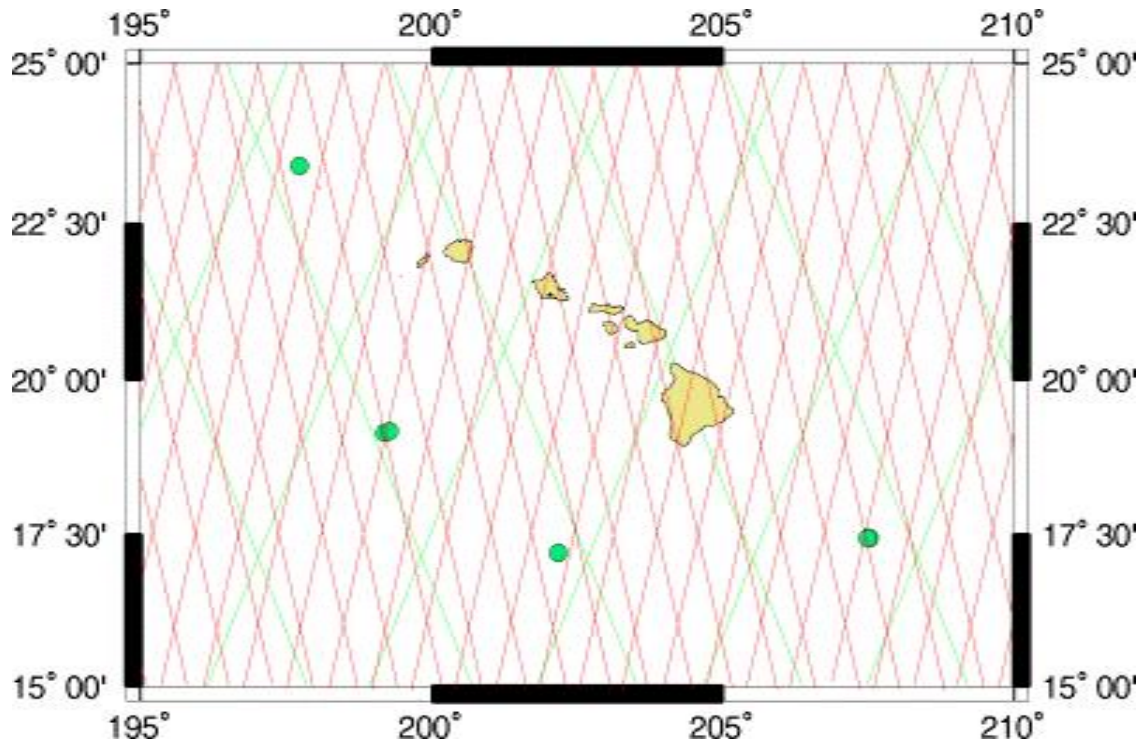


그림 7 하와이 주변의 부이 위치(녹색 점). 빨간 선들은 ERS-2위성의 궤적이며, 녹색 선들은 TOPEX/Poseidon의 궤적을 나타냄 (Schöne and Eickschen, 2000)

(다) 위성(Satellite)을 이용한 파고 측정

① 복사계(Radiometry)

㉠ 주요 활용 위성

- GCOM-W1, GPM, SMOS, SMAP, TRMM 등

㉡ 관측 결과

- 해상풍(Wind)만 산출 파고(SWH) 관측없다.
- 본 연구에서 새롭게 개발중이다.

② 고도계(Altimetry)

㉠ 주요 활용 위성

- ERS-1, ERS-2 and TOPEX/Poseidon
- Envisat
- Gecosat: 최초의 해수면고도 측정 위성 (1985년)

㉡ 관측 결과

- 해상풍(Wind)과 파고(SWH)를 관측

㉢ 관측원리

- 위성에서 발사된 신호가 해수면에서 부딪친 후에 되돌아오는 정보를 이용하는 레이더 고도계(Radar altimetry)의 원리 이용
- ㉔ 위성 관측 원시정보
 - 후방산란계수(Backscattering coefficients, σ_0)
- ㉕ 해상풍(Wind): 산출을 위한 물리적 특징(Schöne and Eickschn, 2000)
 - σ_0 는 해상풍속의 크기에 반비례함
 - 바람으로 인해 해수면에서는 작은 규모(Small-scale)의 거칠기(roughness)가 발생하고, 이로 인해 위성으로 되돌아오는 신호의 크기 σ_0 가 변함

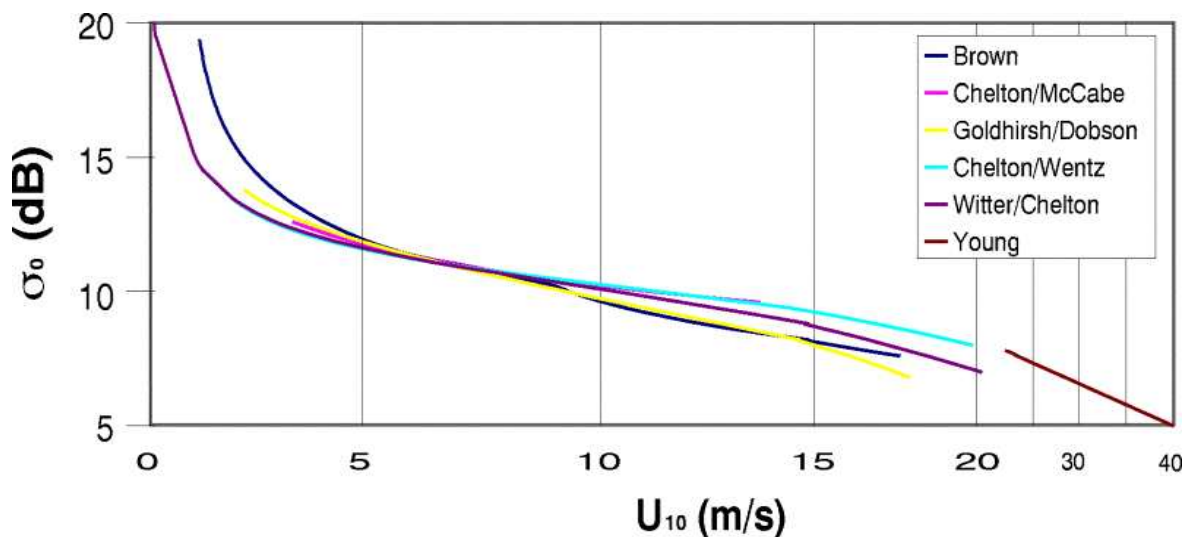


그림 8 σ_0 는 해상풍속의 크기사이의 다양한 알고리즘들.

- ㉖ 유의파고 (SWH): 산출을 위한 물리적 특징
 - 되돌아오는 파의 폭(Width)는 유의파고가 커질수록 넓어진다.
 - ERS-1, ERS-2 등의 SWH는 ECMWF wave model (WAM)과 비교를 통해 만들어진 조건표(lookup table)을 이용하여, 관측된 파의 폭을 가지고 SWH를 생산한다.

나. 기술 검증

(1) 국내기술

(가) 위성(Satellite)을 이용한 파고 측정 (Park et al., 2013)

① 고도계(Altimetry)

㉠ 주요 위성

- Satellite altimeters (Topex/Poseidon, Jason-1, Envisat, and Jason-2)

㉡ 방법

- Satellite altimeter와 한반도 주변의 부이자료 관측 유의파고 비교

㉢ 비교 시공간 matchup 자료수

- 공간범위 : 50km 이내
- 시간범위 : 30분 이내
- 1,070 개 (for Ku-band)
- 1,086 개 (for C- and S- bands)

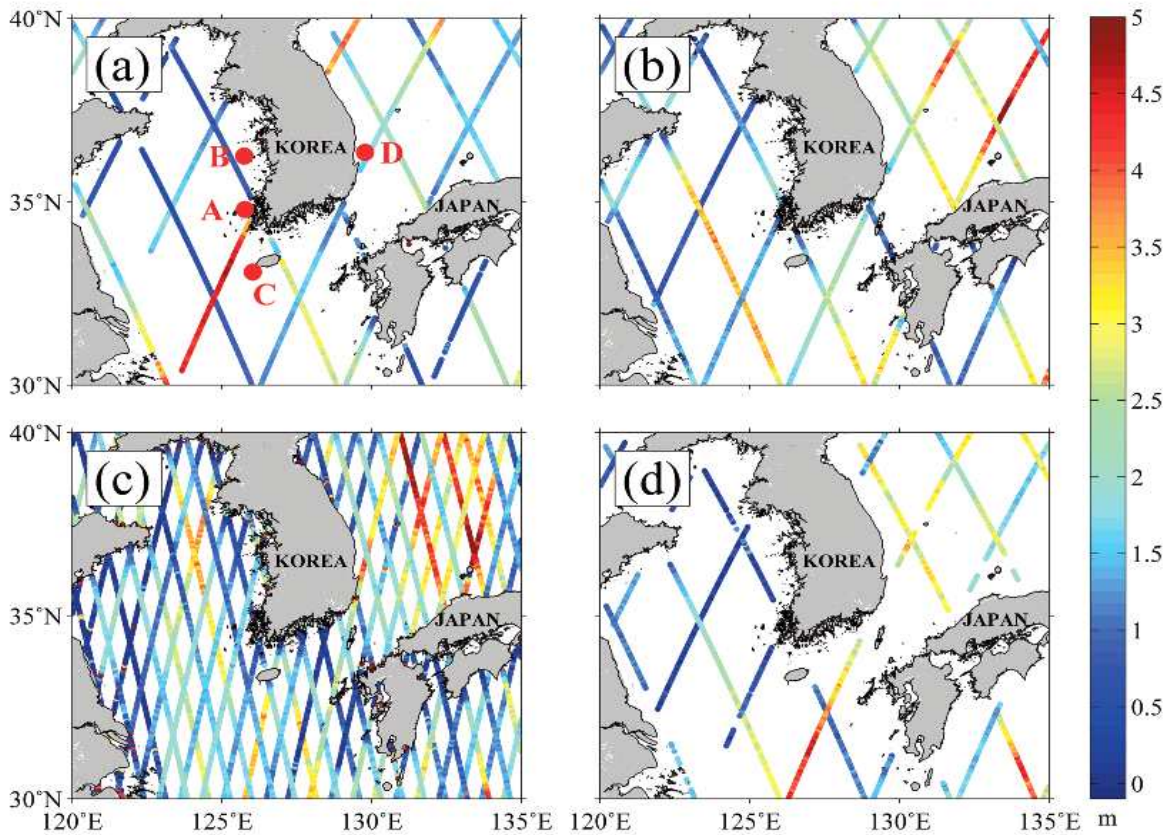


그림 9 Significant wave height (m) along the tracks of satellite altimeters of (a) Topex/Poseidon, (b) Jason-1, (c) Envisat, and (d) Jason-2 on an arbitrary date, where A (Chilbaldo), B (Oeyeondo), C (Marado), and D (Pohang) denote the marine meteorological buoy stations of KMA

㉣ 위성자료 기간 및 특성

- Topex/Poseidon: 1992년 8월 10일 - 2005년 10월 18일
- Jason-1: 2001년 12월 7일 ~ present

- Envisat: 2002년 3월 1일 ~ 2012년 4월 8일
- Jason-2: 2008년 6월 20일 ~ present

	Topex/Poseidon	Jason-1	Envisat		Jason-2
Operational Period	10 Aug 1992 – 18 Oct 2005	7 Dec 2001 – present	1 Mar 2002 – 8 Apr 2012		20 Jun 2008 – present
Band (GHz)	Ku (13.575), C (5.3)	Ku (13.575), C (5.3)	Ku (13.575), S (3.2)		Ku (13.575), C (5.3)
Altitude (equatorial) (km)	1,336	1,336	799.8	782.4	1,336
Repeat Period (days)	9.9156	9.9156	35	30	9.9156
The Number of Passes per Cycle	254	254 (280 since May 2012)	1,002	862	254
Agency	NASA, CNES	NASA, CNES	ESA		CNES, NASA, EUMESAT, NOAA

㉞ 부이자료 기간 및 특성

Station	Symbol	Latitude (°N)	Longitude (°E)	Distance (km)			
				Topex/Poseidon	Jason-1	Envisat	Jason-2
Chilbaldo	A	34.78	125.77	27.9651	27.3244	3.3946	27.8921
Oeyeondo	B	36.25	125.75	-	10.8897	7.6489	37.3557
Marado	C	33.08	126.03	-	22.7196	10.2208	-
Pohang	D	36.35	129.78	-	9.4030	2.5960	9.8862

㉞ 결과

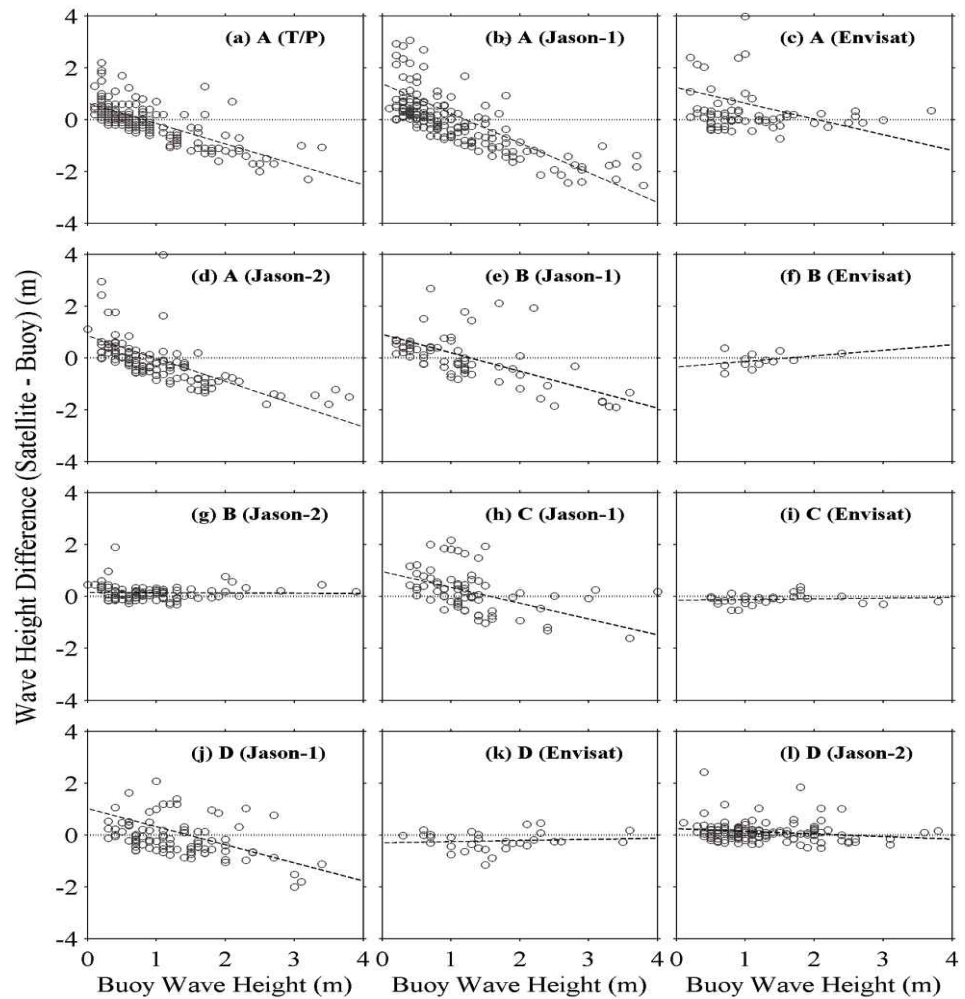
- 결론적으로 대략 0.2 ~ 2.1m 파고에서 일치를 보임
- Ku 밴드

Buoy	Satellite	The number of matchups	Distance(km)	RMS(m)	Bias(m)	SI	correlation
A (Chilbaldo)	Topex/Poseidon	168	36.9048	0.9594	-0.0432	1.0657	0.1831
	Jason-1	191	36.5492	1.7553	0.2128	2.9539	-0.0857
	Envisat	69	9.8984	2.0573	0.5980	3.7291	0.1483
	Jason-2	114	36.5036	1.1310	-0.0420	1.2565	0.0967
	Subtotal	542	33.2570	1.4761	0.1289	2.2168	0.0512
B (Oeyeondo)	Jason-1	64	11.9923	1.0960	0.0357	0.9846	0.2685
	Envisat	13	13.3485	0.2886	-0.0938	0.0613	0.9076
	Jason-2	88	38.0957	0.3304	0.1413	0.0933	0.9161
	Subtotal	165	26.0210	0.7285	0.0818	0.4860	0.5832
C (Marado)	Jason-1	75	24.1366	0.9078	0.1425	0.6029	0.3741
	Envisat	29	14.6854	0.2252	-0.1122	0.0270	0.9713
	Subtotal	104	21.5012	0.7801	0.0715	0.4454	0.5313
D (Pohang)	Jason-1	96	24.4290	1.4190	0.0693	1.4811	0.1795
	Envisat	31	10.6628	0.4239	-0.2363	0.0769	0.9203
	Jason-2	132	10.8465	0.4047	0.1080	0.1186	0.8729
	Subtotal	259	15.8589	0.9227	0.0524	0.6289	0.5116
Total		1,070	26.7873	1.2045	0.0975	1.2884	0.2651

- C- and S- 밴드

Buoy	Satellite	The number of matchups	Distance(km)	RMS(m)	Bias(m)	SI	correlation
A (Chilbaldo)	Topex/Poseidon	157	39.9783	0.7982	0.0694	0.7230	0.2123
	Jason-1	241	36.2531	7.9635	5.1170	37.7834	-0.1074
	Envisat	31	10.5970	2.9989	1.5903	5.1515	-0.0464
	Jason-2	141	36.2029	10.9316	8.2448	54.8273	-0.0103
	Subtotal	570	35.8714	7.5524	4.3086	40.1508	-0.0347
B (Oeyeondo)	Jason-1	70	12.0161	1.2799	0.2020	1.3602	0.1843
	Envisat	5	11.0641	11.1623	8.1926	66.8348	0.1170
	Jason-2	94	38.0691	2.6062	0.7762	6.7974	0.0738
	Subtotal	169	26.4790	2.8536	0.7578	7.4322	0.0477
C (Marado)	Jason-1	75	24.1271	0.9166	0.2719	0.5765	0.3551
	Envisat	9	18.5569	2.5213	1.9284	1.8263	0.4793
	Subtotal	84	23.5303	1.1964	0.4493	0.9163	0.3281
D (Pohang)	Jason-1	108	24.6005	3.7748	1.2762	9.8553	-0.1595
	Envisat	18	15.0803	5.0561	3.3875	9.1888	-0.0714
	Jason-2	137	10.9121	2.4384	0.6803	4.3853	0.0691
	Subtotal	263	16.8185	3.2708	1.1103	7.3827	-0.0315
Total		1,086	28.8411	5.8229	2.6830	24.8284	-0.0631

- 파고가 2m이상일 때, underestimate
- 파고가 2m이하일 때, overestimate



(나) 위성(Satellite)을 이용한 파고 측정 (Kim, 2012)

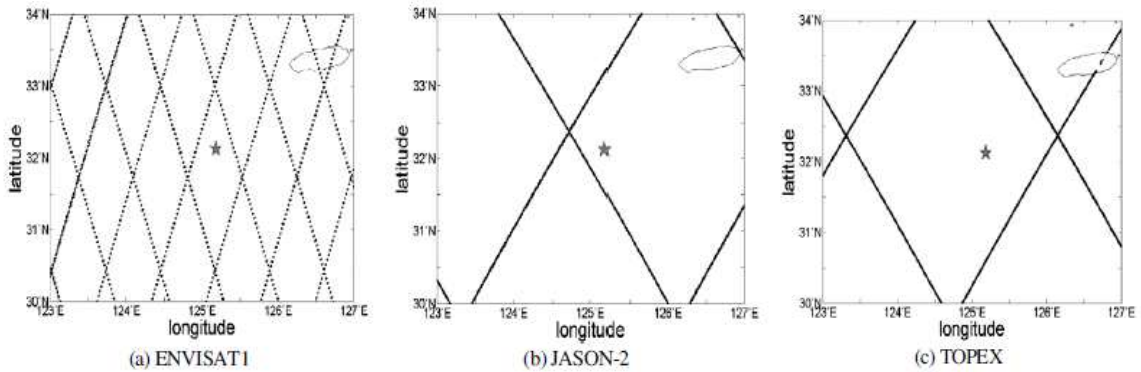
① 고도계(Altimetry)

㉔ 주요 위성

- Satellite altimeters (Envisat, Jason-2, Topex)

㉕ 방법

- 이어도 해양과학기지 인근해역에서의 고도계 파고 자료 검증



㉖ 시공간 matchup

- 공간범위 : 50km 이내

- 시간범위 : 30분 이내

㉗ 결과

- 이어도 해양과학기지 인근해역에서의 고도계 파고 자료 검증

- 결론적으로, RMSE는 대략 0.65 ~ 1.22m이다.

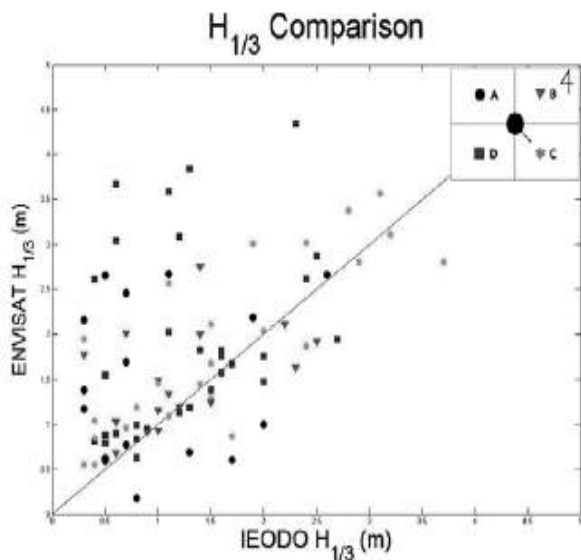


Table 1. RMS errors according to the wave direction.

Wave Dir.	RMSE(m)
● A	1.108
▼ B	0.682
★ C	0.648
■ D	1.219

(2) 국외기술

(가) 부이 자료를 이용한 파고정보 직접 관측

① NDBC buoy data (SWH):

㉠ 주요 문제점

- 표준 높이인 10m 고도에서의 해상풍정보가 나와야 하는데, 각기 다른 유형의 부이를 사용함으로써, 검보정이 필요하고 매우 어려움
- 실제 밝혀진 문제점들로는, 잘못된 좌표, 다르거나 없는 풍속계의 고도 정보, 10m 높이에 보정된 해상풍 정보도 있는 반면에 보정이 안된 해상풍 정보가 섞여 있음

(나) 위성(Satellite)을 이용한 파고 측정

① 고도계(Altimetry)

㉠ 주요 위성

- ERS-1, ERS-2 and TOPEX/Poseidon
- Envisat
- Gecosat: 최초의 해수면고도 측정 위성 (1985년)

㉡ 선행 연구결과

- 태평양 영역에서의 평균 RMSE: 0.30 - 0.35m (Gower, 1996)
- Gulf of Mexico에서의 평균 RMSE: 0.15 - 0.18m (Hwang et al.,1998)
- 동해 및 북태평양영역에서의 평균 RMSE (JMA)
: 0.31 - 0.54m (Ebuchi and Kawamura, 1994)

제 3 장 과제수행 내용 및 결과

1절. 과제수행 이론적 및 실험적 접근 방법

1. 이론적 방법

인공위성에 탑재된 수동형 마이크로파 센서는 편광관측이 가능하며, 그 값은 밝기온도 (Brightness temperature)로 기록된다. 유의파고 산출을 위해서는 해상풍 정보가 필요하며, 대표적으로 많이 사용되는 관계식은 경험적으로 구해진 Beaufort 스케일 이다. 한반도 주변에 최적화된 관계식을 구하고 이를 적용하여 유의파고 정보를 다시 산출하는 것이 본 연구의 목표이다.

이론적으로 마이크로파 위성의 밝기온도는 주야간 관측이 가능하며, 대기의 영향을 거의 받지 않고, 표면의 영향을 받는다. 또한 위성에 탑재된 마이크로파 복사계는 수평 및 수직 편광 관측이 가능하다.

해양의 표면에서 반사된 편광 전자기파는 반사되어 위성에서 관측이 되는데, 표면의 상태에 따라 편광 반사도의 정도가 변하게 된다. 해수면에서는 해상풍의 세기에 따라 잔물결이 일게 되고, 이에 따라서 해수면에서 반사되는 편광 전자기파의 성격이 바뀌게 된다. 물리적으로 설명을 하자면, 해상풍 세기에 따라 반사도가 변하게 되며 (Hong et al., 2015), 이 효과를 이용하여 유의파고를 간접적으로 산출할 수 있게 된다.

본 연구에서는 이러한 물리적 관계 및 절차를 다음과 같이 나누어 수행하여 유의파고 정보를 산출하게 된다.

인공위성 복사계에서 관측된 수직 편광 밝기온도와 모의 밝기온도와는 매우 높은 상관성을 가지고 있다 (Hong et al., 2015). 위성관측 밝기온도는 해수면 반사도의 영향을 받는다. 해수면 반사도는 해수면 거칠기에 의해 영향을 받는다 (Hong, 2010a). 거칠기는 해상풍의 크기와 비례한다 (Hong and Shin, 2013). 유의파고는 해상풍과 높은 상관성을 가지고 있다.

2. 실험적 접근 방법

본 연구에서는 기술된 이론적 배경 (Hong et al., 2015; Hong and Shin 2013)을 바탕으로 하여, 실험절차를 다음과 같이 구성한다.

가. 수직 편광 밝기온도($T_{B,V,O}$) 관측에서 모의 밝기온도($T_{B,V,S}$)로 변환

관측된 수직 편광 밝기온도를 다음 수학적 식 1에 의해 모의 밝기온도로 변환된다.

$$\begin{aligned} T_{B,V,S} &= a_{1,V} \cdot T_{B,V,O} + a_{2,V} \\ T_{B,H,S} &= a_{1,H} \cdot T_{B,H,O} + a_{2,H} \end{aligned} \quad (1)$$

여기서, $T_{B,V,S}$ 는 모의 밝기온도를 나타내고, $T_{B,V,O}$ 는 수직 편광 밝기온도를 나타내며, $a_{1,V}$, $a_{2,V}$, $a_{1,H}$, $a_{2,H}$ 는 회귀관계식의 편광별 회귀 계수와 기울기를 나타내며, 첩자 V는 수직편광, 첩자 H는 수평편광을 나타낸다.

나. 반사도 산출

다음 식(2)를 이용하여 변환한다.

$$R_{R,V} = b_{1,V} \cdot T_{B,V,S} + b_{2,V} \quad (2)$$

여기서, $R_{R,V}$ 는 수직 편광 반사도를 나타내고, $b_{1,V}$, $b_{2,V}$ 는 회귀관계식의 회귀계수이고 기울기와 절편을 각각 의미한다.,

다. 거칠기 (σ) 산출

다음 식(3)을 이용하여 거칠기를 산출한다 (Hong, 2010a,b,c; Hong and Shin, 2011; Hong and Shin, 2013; Hong et al., 2013; Hong et al., 2015).

$$\sigma = \frac{\lambda}{4\pi \cos\theta} \sqrt{\ln \left(\frac{R_{R,H}^{\sec^2\theta}}{R_{R,V}} \right)} \quad (3)$$

여기서, σ 는 해수면 거칠기를 나타내고, $R_{R,V}$ 는 수직 편광 반사도를 나타내며, $R_{R,H}$ 는 수평 편광 반사도를 나타내며, θ 는 위성천정각을 나타낸다.

라. 해상풍과 거칠기와의 관계식 도출 (Hong and Shin, 2013; Hong et al., 2015)

다음 식(4)을 이용하여 거칠기 정보로부터 해상풍 정보를 산출한다.

$$\sigma = c_1 \cdot W_S + c_2 \quad (4)$$

여기서, σ 는 해수면 거칠기를 나타내고, C_1 , C_2 는 회귀관계식의 회귀 계수로서 기울기와 절편을 나타내며, W_S 는 해상풍의 풍속을 나타낸다.

마. 해상풍에서 유의파고 정보와의 관계식 도출

다음 식(5)을 이용하여 거칠기 정보로부터 해상풍 정보를 산출한다.

$$SWH = d_0 + d_1 \cdot W_s + d_2 \cdot W_s^2 \quad (5)$$

여기서, SWH는 유의파고를 나타내며, W_s 는 해상풍 풍속을 나타내며, d_0 , d_1 및 d_2 는 회귀관계식의 회귀 계수를 나타낸다.

2절. 과제수행 내용

1. 과제 수행 절차

가. 해상풍 산출

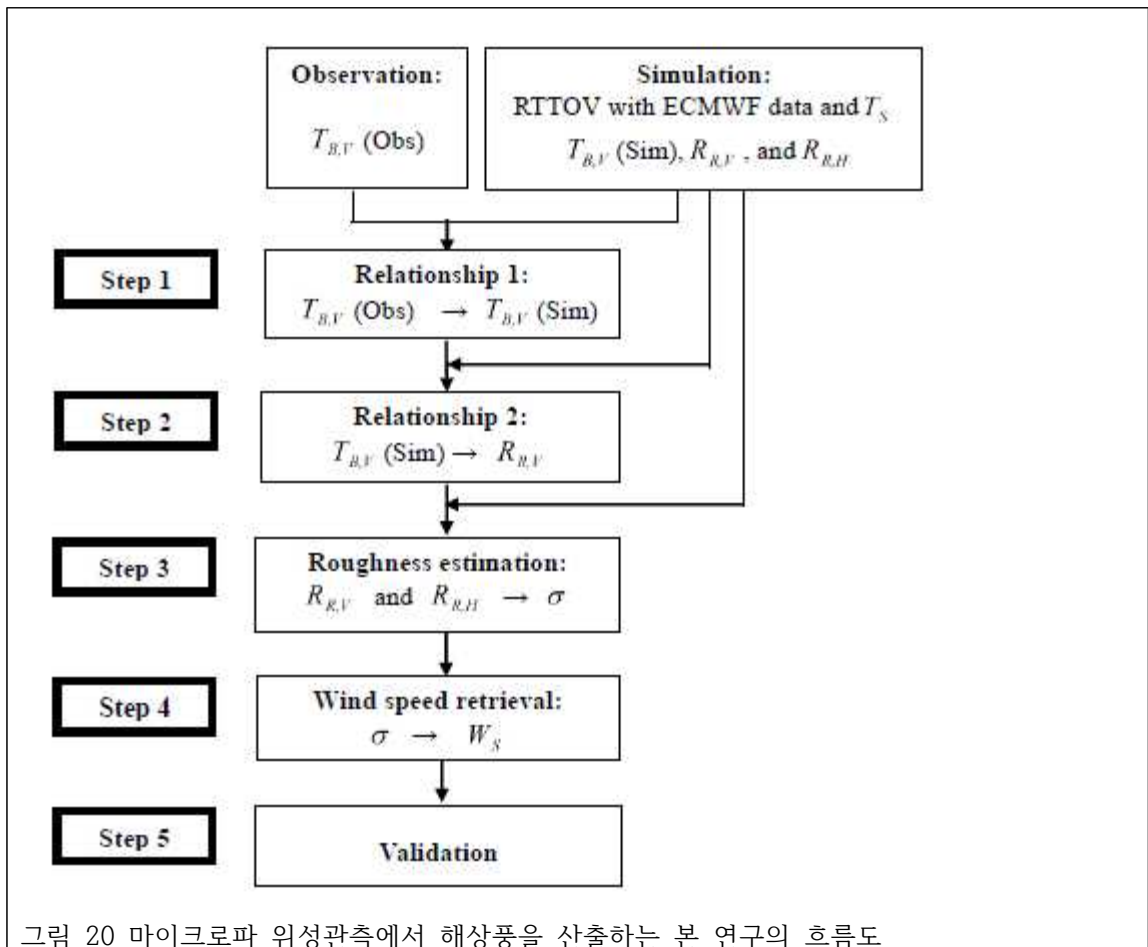
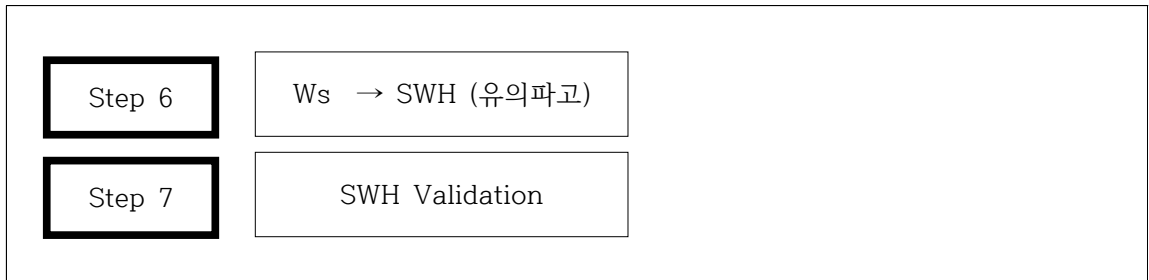


그림 20 마이크로파 위성관측에서 해상풍을 산출하는 본 연구의 흐름도

나. 유의파고 산출

(1) Beaufort scale 적용

(2) 새로운 회귀식 (유의파고와 해상풍의 관계식) 적용



2. 연구 자료

가. 위성자료 (수직 편광성분을 위한)

(1) GCOM-W1위성에 탑재된 AMSR-2 (Wentz and Meissner, 2000) 센서 관측 자료

(2) GCOM-W1/AMSR-2 자료중에서 daily 레벨 3(L3) 자료를 활용하였음

(가) 시간해상도: 하루에 2번 지나감

(나) 공간해상도: 0.25도 간격 (중위도에서는 25km 해상도)

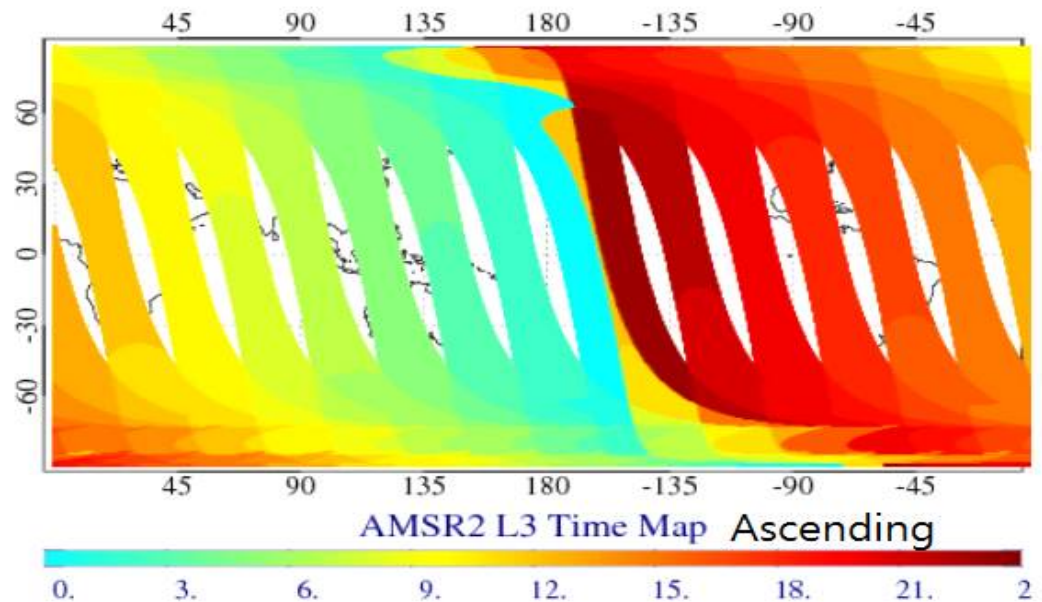


그림 25 AMSR-2 L3 자료가 통과하는 시간 및 관측폭 (오후, Ascending mode)

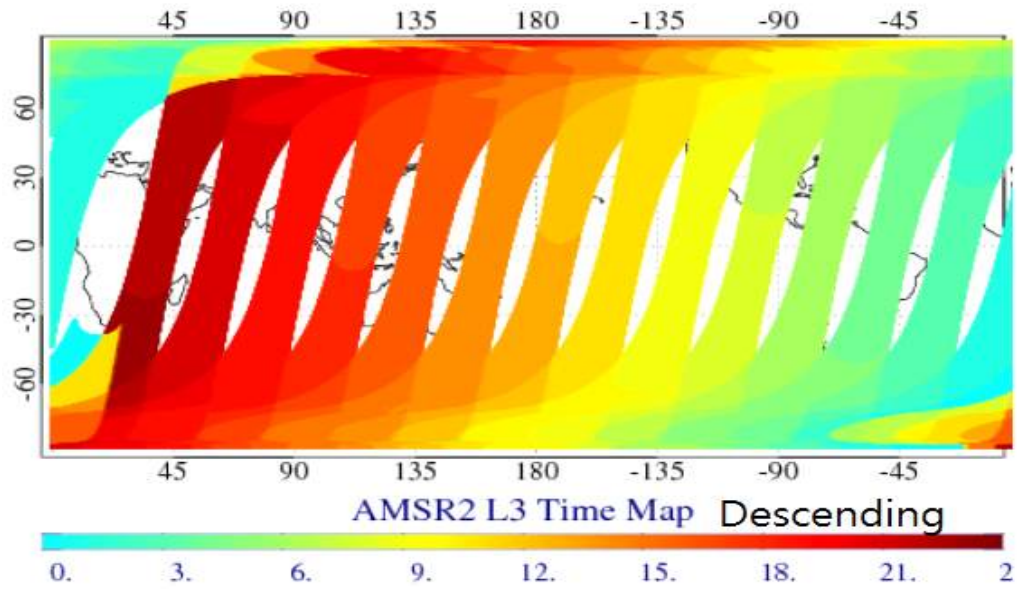


그림 26 AMSR-2 L3 자료가 통과하는 시간 및 관측폭 (오전, Descending mode)

(3) GCOM-W1/AMSR-2 L3 daily 평균 자료의 정보

(가) 관측한 시간과 위경도 값별로, 수직(V) 및 수평(H) 편광(Polarization) 관측센서에서 55도의 입사각으로 지구의 표면에서 방출되는 밝기온도(Brightness temperature)를 관측한 정보를 제공

No.	Data	Samples	Bytes/Sample	Type	Bytes/Record	Records	Sum(bytes)	Scale factor	Units
1	ProductMeta Data	25	100	-	2,500	1	2,500	-	-
2	Brightness Temperature (V)	790	2	unsigned int	1,580	830	1,311,400	0.01	K
3	Brightness Temperature (H)	790	2	unsigned int	1,580	830	1,311,400	0.01	K
4	Time Information	790	2	signed int	1,580	830	1,311,400	1.00	min
	Total(Bytes)						3,936,700		
	Total(MB)						3.75		

그림 27 AMSR-2 L3 자료의 내용

나. 수치모델 자료 (수평 편광성분을 위한)

(1) ECMWF 모델 자료

- (가) 세계적으로 가장 정확하다고 알려진 모델 자료이며, 정확도 순위는 ECMWF(유럽) > UM (영국) > NCEP (미국) > 일본 순임
- (나) 기상자료인 수직 온도와 습도 정보를 25개의 층별로 제시하고 있으며,
- (다) 해상의 경우, 해수면 온도, 바람 성분 (수직, 수평) 등 정보도 제공

(라) 복사모델의 입력자료로 ECMWF (Uppala et al., 2016)의 온습도 프로파일 정보와 해수면과 관련된 정보를 활용하였음

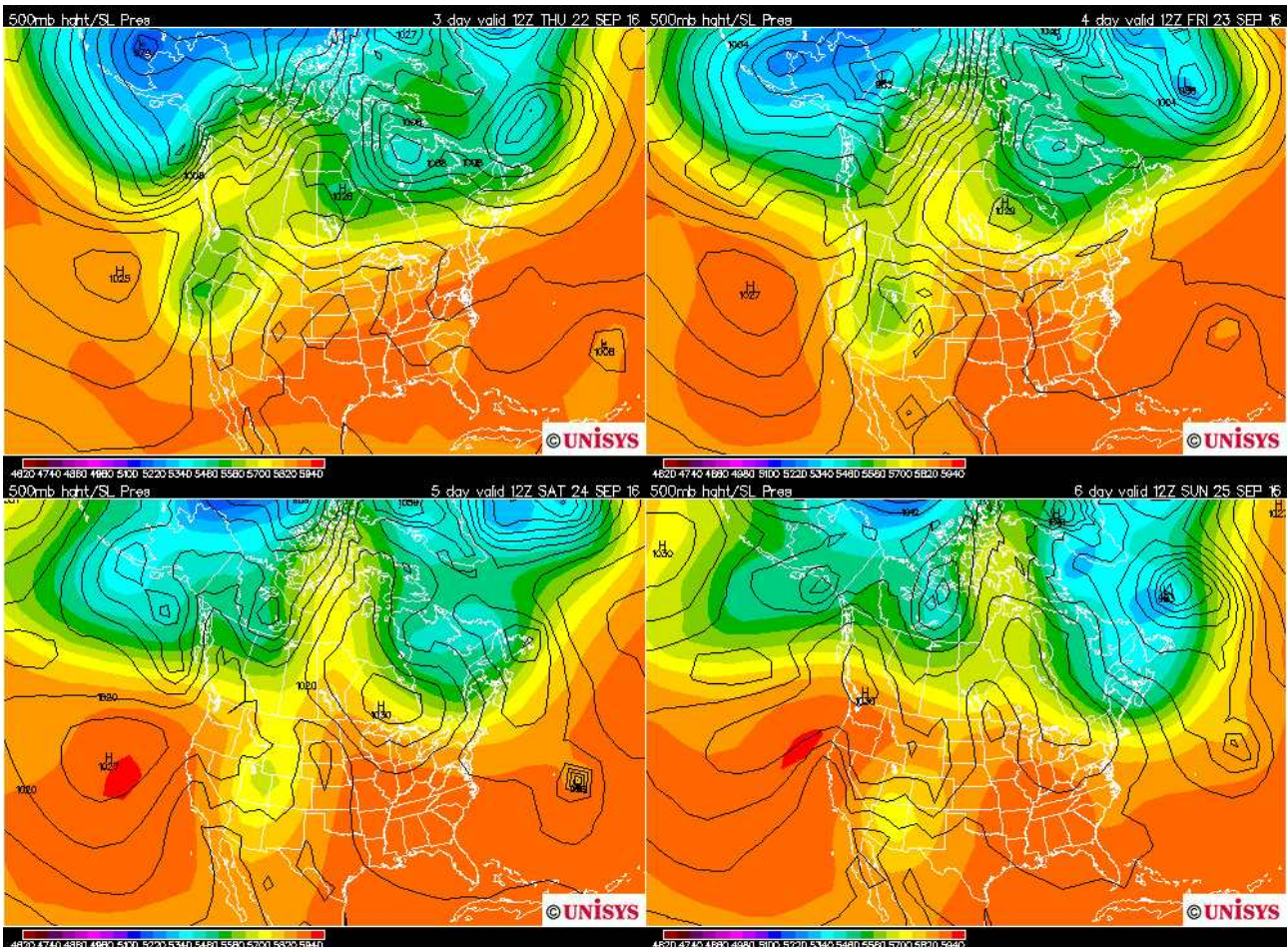


그림 28 ECMWF 자료의 예- 500 hPa에 해당하는 높이의 변화

(2) 시공간 해상도

(가) 시간해상도: 하루에 4번 제공 (00, 06, 12, 18 UTC)

(나) 공간해상도: 0.25도 간격 (중위도에서는 25km 해상도)

다. 복사 모델 수행 (수평 반사도 모의(Simulation))

(1) RTTOV 버전 11

(가) 세계적으로 예보에 활용되는 핵심적인 현업용 복사전달모델 (Radiative Transfer Model)임. 미국의 경우는 CRTM (Community Radiative Transfer Model) (Ding et al., 2011)을 사용하나, RTTOV(English and J. Hewison, 1998; Saunders et al., 2007)와 CRTM의 성능의 차이는 거의 없음

- (나) 기상자료인 수직 온도와 습도 정보를 25개의 층별로 제시하고 있으며,
- (다) 해상의 경우, 해수면 온도, 바람 성분 (수직, 수평) 등 정보도 제공

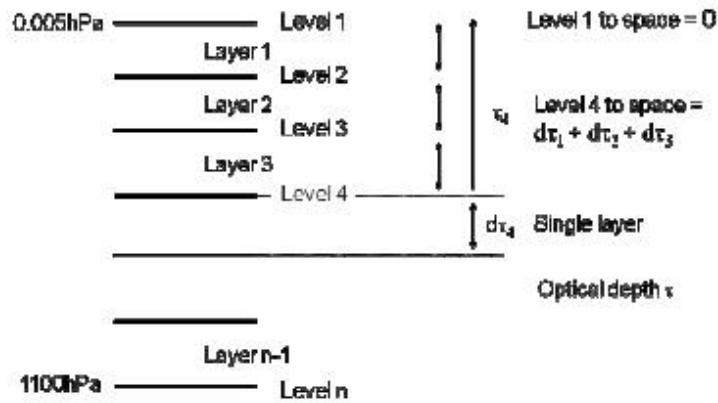


그림 29 RTTOV 복사모델의 대기에 대한 입력 구조

(2) 유의과고 산출을 위한 복사모델 수행

(가) 수행시간: 1타임 복사모델 수행시간은 약 14분 정도임

(나) 수행방법: AMSR-2의 전체 관측과장에 대해 ECMWF 자료를 입력자료로 하여, RTTOV 복사모델 수행

```

COEF_FILENAME="rtcoef_gcom-w_1_amr2.dat"
NPROF=100000 # Number of profiles defined in prof.dat
NLEVELS=23 # Number of profile levels
DO_SOLAR=0 # 0 = solar off / 1 = solar on

# 6GHz,V,H 순서 amr2는 14채널이지만, 일단 2개만 돌린다
$BINDIR/example_fwd.exe << EOF
${COEF_FILENAME}, Coefficient filename
${PROF_FILENAME}, Input profile filename
${NPROF} , Number of profiles
${NLEVELS} , Number of levels
${DO_SOLAR} , Turn solar radiation on/off
1, 1, 0.0, 0.0 , channel 1, valid, emissivity=0.0, BRDF=0.0
2, 1, 0.0, 0.0 , channel 2, valid, emissivity=0.0, BRDF=0.0
3, 1, 0.0, 0.0 , channel 3, valid, emissivity=0.0, BRDF=0.0
4, 1, 0.0, 0.0 , channel 4, valid, emissivity=0.0, BRDF=0.0
5, 1, 0.0, 0.0 , channel 5, valid, emissivity=0.0, BRDF=0.0
6, 1, 0.0, 0.0 , channel 6, valid, emissivity=0.0, BRDF=0.0
7, 1, 0.0, 0.0 , channel 7, valid, emissivity=0.0, BRDF=0.0
8, 1, 0.0, 0.0 , channel 8, valid, emissivity=0.0, BRDF=0.0
9, 1, 0.0, 0.0 , channel 9, valid, emissivity=0.0, BRDF=0.0
10, 1, 0.0, 0.0 , channel 10, valid, emissivity=0.0, BRDF=0.0
11, 1, 0.0, 0.0 , channel 1, valid, emissivity=0.0, BRDF=0.0
12, 1, 0.0, 0.0 , channel 2, valid, emissivity=0.0, BRDF=0.0
13, 1, 0.0, 0.0 , channel 3, valid, emissivity=0.0, BRDF=0.0
14, 1, 0.0, 0.0 , channel 4, valid, emissivity=0.0, BRDF=0.0
EOF

```

그림 30 RTTOV 복사모델 수행과정의 예

3절. 과제수행 결과

1. 한반도 주변 유의 파고

가. 자료

(1) 기간

(가) 2014년 10월 1일 ~ 10월 31일 (1 개월)

(2) 영역

(가) 동해, 서해, 남해를 포함하는 한반도 주변 영역 선택

* 육지와 해안 연안 지역을 제외함

(가) AMSR-2 SST 자료의 flag를 이용하여 해양 부분만 선택

(3) 강수조건

- 비강수 지역만 선택하였음 (Rain-free condition)

(4) 위성자료

(가) AMSR-2 6.9와 10 GHz에서 관측된 밝기온도

(나) 궤도모드: Descending mode

(5) 시공간 일치법

(가) 공간일치: 위성결과와 Buoy 자료 거리차 < 0.1°(약 10km이내)

(나) 시간일치: 위성결과와 Buoy 자료 시간차 < 10분 이내

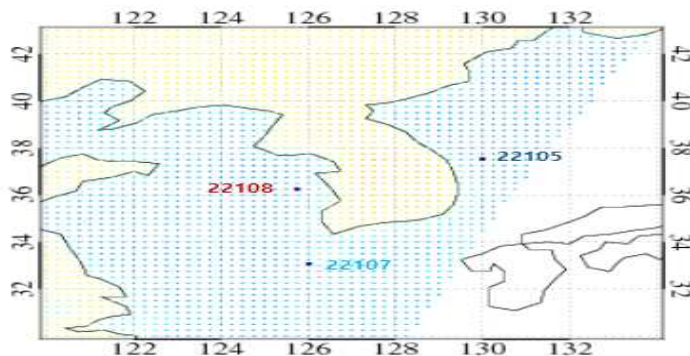


그림 31 KMA buoy 지점번호 (station)

22105	: 동해 (동해)	130.0000	37.5333
22107	: 마라도 (남해)	126.0167	33.0667
22108	: 외연도 (서해)	125.7500	36.2500

(6) 자료처리시간

(가) 위성자료와 복사모의자료 시공간 일치 및 결과 도출 후 그림 생산까지 걸리는 시간은 이 경우에 약 5분 정도 소요.

나. 결과

(1) 6.9GHz에서의 관측 밝기온도 (TB) vs. 모의 밝기온도(TB)

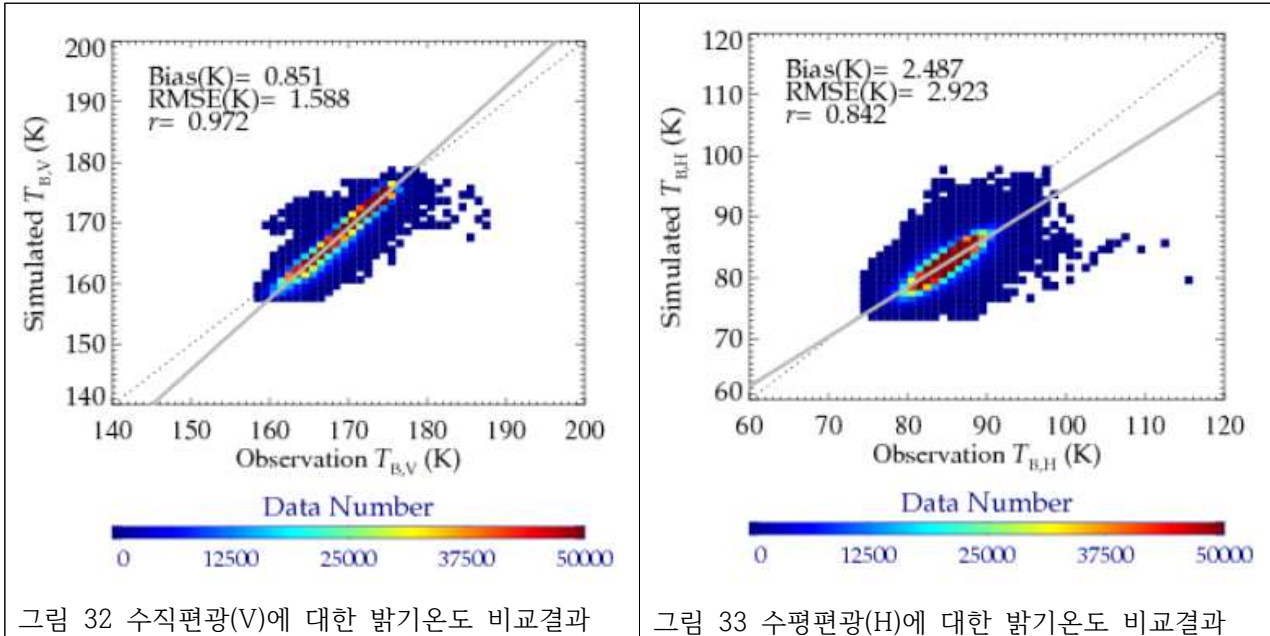


그림 32 수직편광(V)에 대한 밝기온도 비교결과

그림 33 수평편광(H)에 대한 밝기온도 비교결과

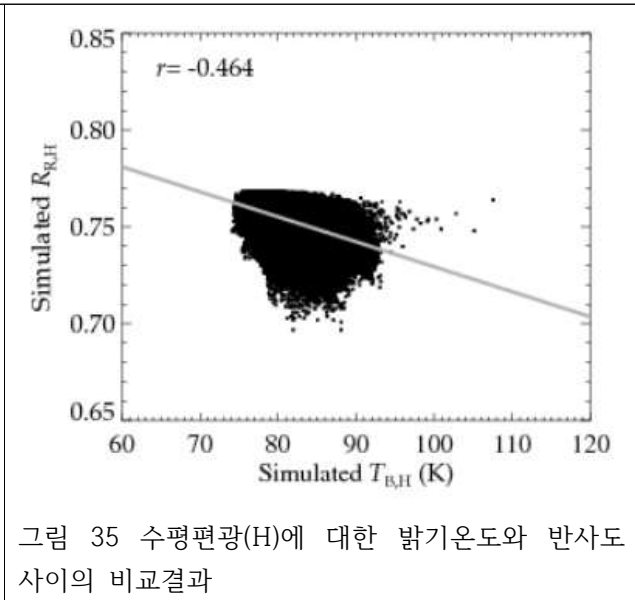
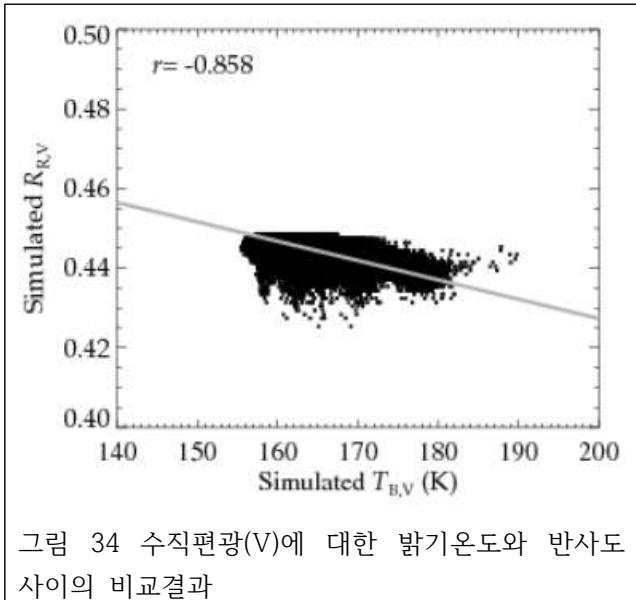
(가) 수직편파성분(V)

바이어스가 0.851m/s, RMSE가 1.588m/s이고, 상관계수가 0.972로, 매우 정확하게 복사모의를 하고 있음을 알 수 있음.

(나) 수평편파성분(H)

바이어스가 2.478m/s, RMSE가 2.923m/s이고, 상관계수가 0.842로, 역시 매우 정확하게 복사모의를 하고 있음을 알 수 있음.

(2) 6.9GHz, 수직편파에서 모의 밝기온도 (TB) vs. 반사도 (R)



(가) 수직편파성분(V)

상관계수가 -0.858 로, 매우 높은 상관관계를 보이며, 해상풍과 유의파고를 산출하기 위해 사용됨

(나) 수직편파성분(V)

상관계수가 -0.464 로, 상대적으로 낮은 상관관계를 보이나, 본 연구의 알고리즘에서는 사용되지 않음

(3) 해상 거칠기 (σ) vs. ECMWF 해상풍

5m/s를 전후로 회귀 관계식 (해상풍과 거칠기)이 구해졌으며, 약한 바람일 때 좀 더 불확실성이 높지만, 풍속이 강해질수록 더욱 선형관계식을 보임. 상기 과정에서 산출된 반사도들(R_v 와 R_H)을 이용하여, 거칠기(σ)를 구하고, 이 회귀 관계식을 이용하여 해상풍(W_s)을 산출함

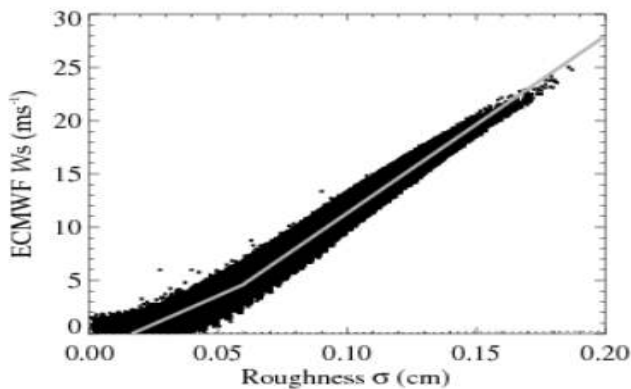


그림 36 바람에 의한 거칠기와 풍속 사이의 관계

(4) 산출된 해상풍(W_s) vs. ECMWF 해상풍

바이어스가 거의 0m/s 이고, RMSE가 0.713m/s 이고, 상관계수가 0.975 로, 매우 높은 상관관계를 보이며, 매우 정확하게 해상풍을 산출할 수 있음을 보여줌

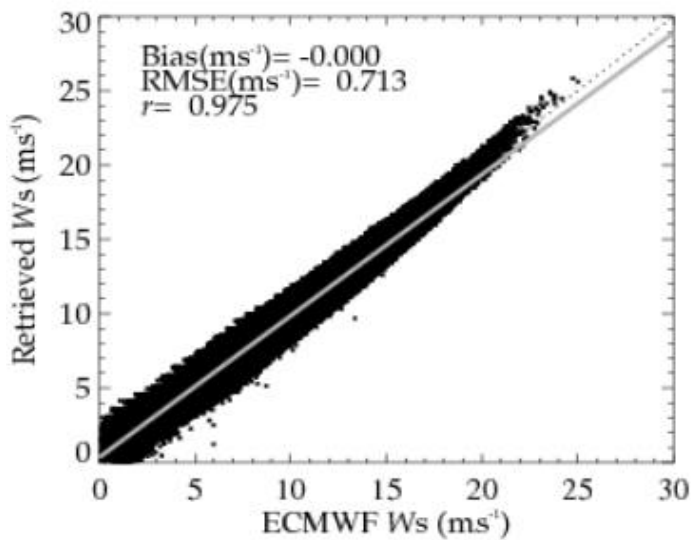


그림 37 본 알고리즘에서 산출된 W_s vs. ECMWF W_s

(5) 유의파고 정보 산출

(가) 산출방법

① Beaufort scale (해상풍 vs 유의파고) 적용시

㉠ 일반적으로 많이 사용되는 Beaufort scale을 회귀식으로 근사하여 적용

㉡ 이차함수($SWH=a*(W_s)^2+b*W_s+c$)로 회귀식을 구함.

㉢ 이 경우, $a=0.0093$, $b=0.1463$, $c=0.1995$

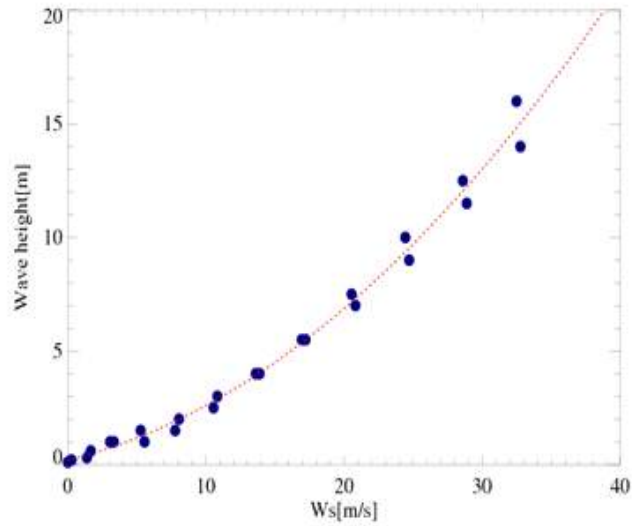


그림 38 Beaufort scale.

② 새로운 scale (본 연구에서 제시하는 Hong scale) 적용시

- ㉠ 새롭게 풍속과 유의파고사이(W_s -SWH)의 관계식을 구함
- ㉡ 이 경우, 부이자료 102개를 사용
- ㉢ 기간: 2013년 10월 관측자료
- ㉣ 이차함수($SWH = a * (W_s)^2 + b * W_s + c$)로 회귀식을 구함.
- ㉤ 이 경우, $a = 0.0158$, $b = 0.0536$, $c = 0.7885$

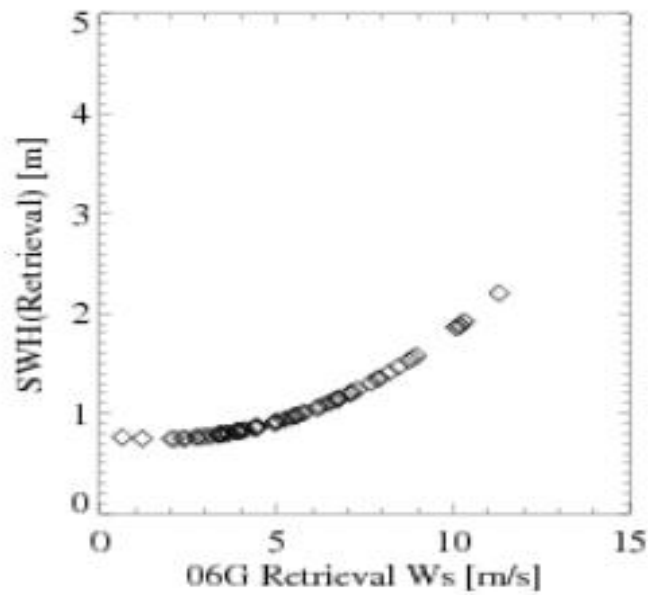
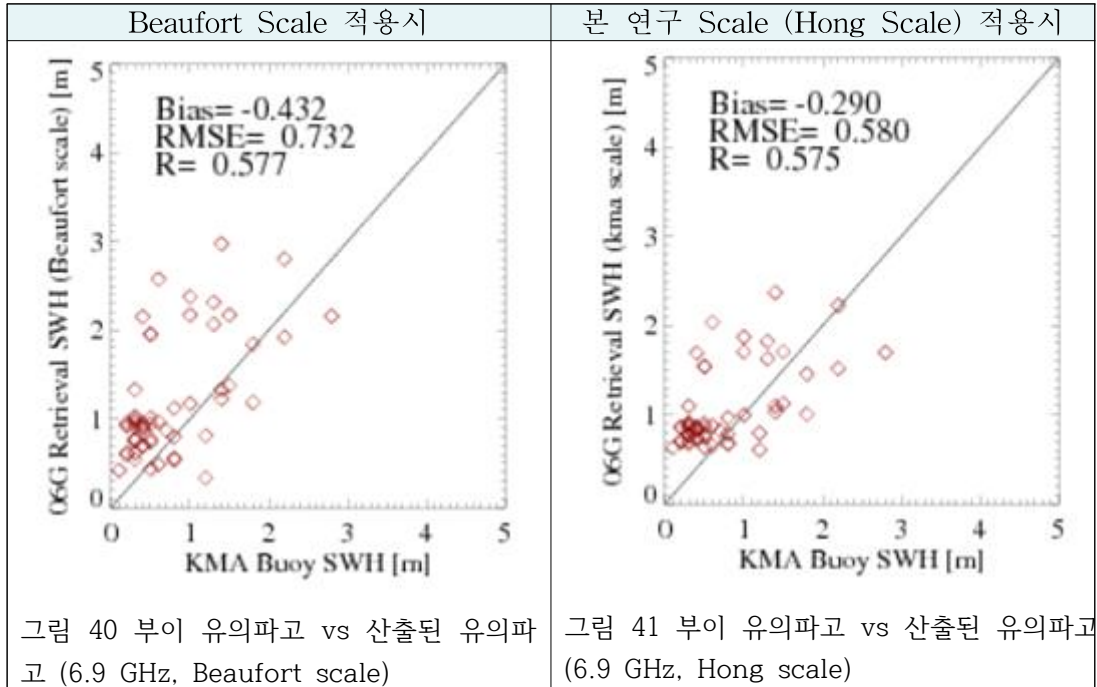


그림 39 Hong scale - 한반도 주변에 최적화

(6) 검증결과

① 유의파고 산출 결과 - 통계적 분석



- ㉠ Beaufort scale와 Hong scale을 적용했을 때, 각각 RMSE 값은 0.73m, 0.58m 사이의 분포를 보였음.
- ㉡ Beaufort scale을 적용했을 때보다 Hong scale을 적용했을 때, RMSE 값이 향상되었음
- ㉢ 국내외 사전 연구를 통해 살펴본 위성 고도계를 사용한 검증결과 (대략 0.15m~0.54m)에 비해 본 연구 예비결과에서 나타난 RMSE 분포는 상대적으로 약간 커 보임. 하지만 전반적으로 0.54m임을 고려하면 매우 유사한 정확도를 보임을 알 수 있음

② 유의파고 산출 결과의 비교 예시

- ㉠ 다음 그림은 본 연구를 통해 개발된 위성 유의파고와 모델 기반인 기상청(KMA)의 파랑모델 결과를 정성적으로 비교한 그림이다. 날짜는 2014년 10월 24일 18UTC이다.
- ㉡ 이때는 태풍이 일본 동쪽에서 원해에 있을 때임. KMA 모델과 정성적으로 비교해 봤을 때 전반적인 파고의 높이는 매우 유사한 패턴을 보임. 하지만 제주도 부근에서 모델은 갑자기 매우 좁은 영역에서 높은 유의파고 값을 보임. 주변과 비교해 볼 때 정상적인 파고 값으로 보이지는 않지만, 추후 정량적인 검증이 필요함.

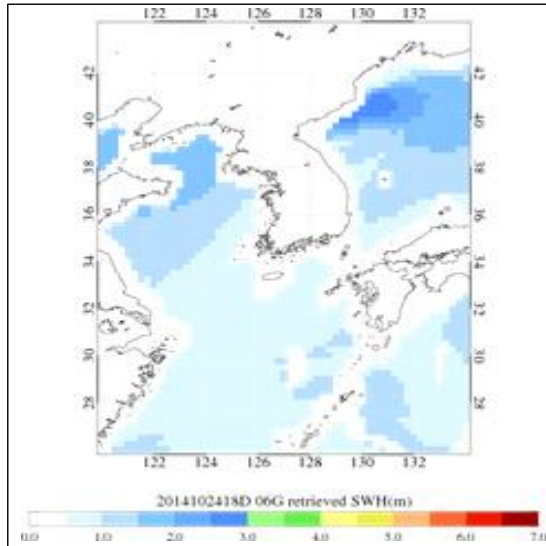


그림 42 산출된 유의파고(2014년 10월 24일 18UTC)

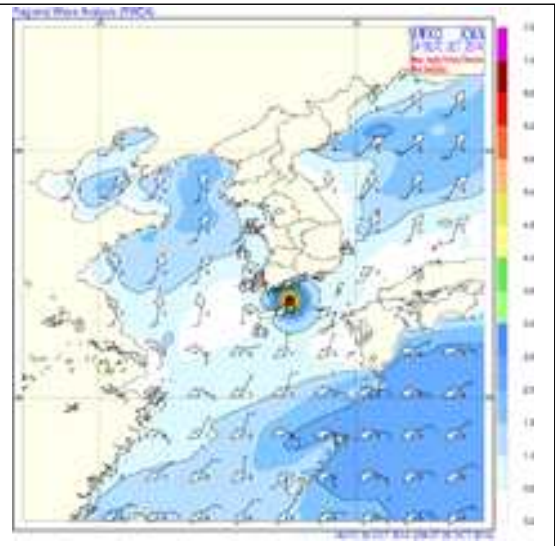


그림 43 KMA 지역파랑모델 유의파고(2014년 10월 24일 18UTC)

③ 유의파고 산출 결과의 예시 (동영상)

- ㉠ 다음 동영상은 본 연구 결과에 의해 산출되는 한반도 주변 유의파고 정보의 예로써, 기간은 2014년 10월 1일~30일 한달간임.
- ㉡ 제18호 태풍 판폰(PHANFONE)이 9월 29일 오후 3시에 중심기압 998hPa, 최대풍속 18m/s, 강풍 반경 330km, 크기 '중형'의 열대폭풍으로 미국 괌 동쪽 약 690km 부근 해상에서 발생하였음 (일본 기상청 태풍정보 기준).
- ㉢ 발생 이후 서~서북서진하며 발달해서 10월 2일 오후 3시에 미국 괌 북서쪽 약 990km 부근 해상에서 태풍으로 최성기를 맞이한 후, 일본 오키나와에 근접하면서 서서히 북북동진을 시작하며 약화되기 시작했고, 10월 6일 이즈반도를 관통, 도쿄 만을 통과하며 이바라키 현 가시마 시 북동쪽 해상에 진출하였고, 그 이후 온대저기압으로 변질되었음.

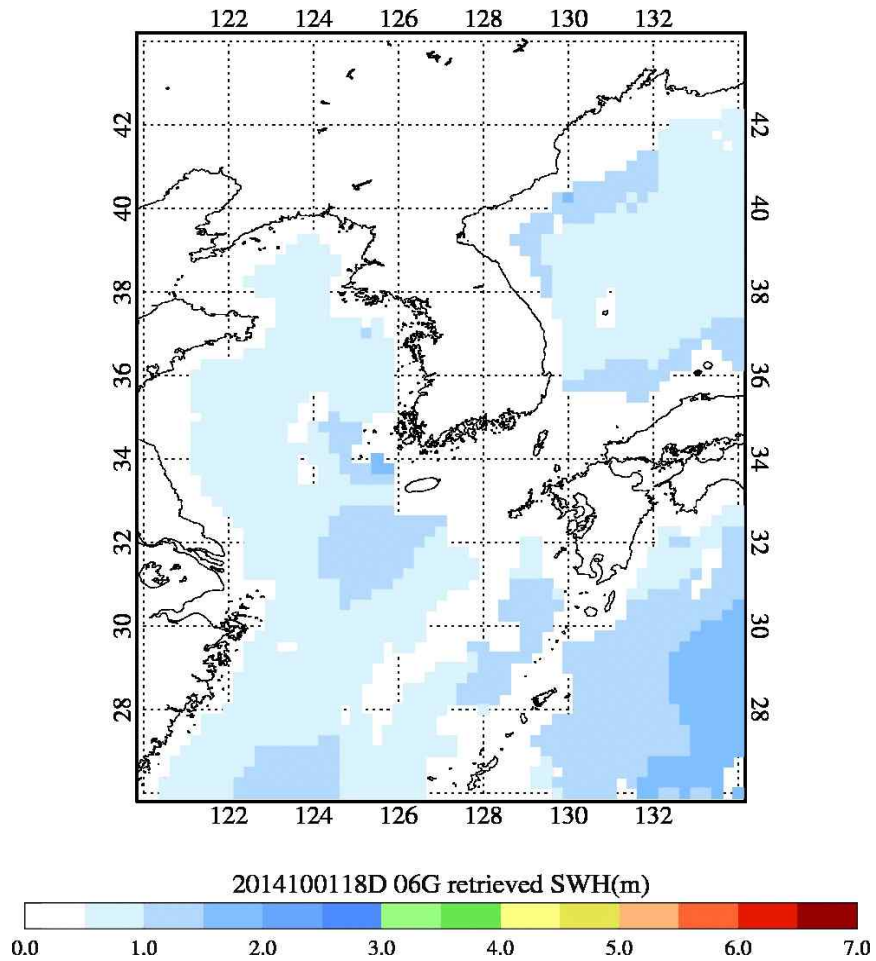


그림 44 본 연구에 의해 산출되는 한반도 주변 유의파고 정보의 예
 기간: 2014년 10월 1일~30일

(7) 해결방안

- ① 풍속 크기에 따른 RMSE 분포를 더 분석해 볼 필요 있음
- ② 부이자료의 제작사나 관측 높이가 다른 경우가 많기에, 고도에 따른 부이자료 관측 풍속보정을 실시
- ③ 본 연구 자료의 기간을 늘리고 (데이터 수 확대), 위성자료와 해상관측자료의 시간 일치도를 보다 엄밀히 한다면, Bias와 RMSE를 줄일 수 있을 것으로 예상됨

제 4장 과제목표 달성도 및 대외기여도

1절. 과제목표 달성도

1. 목표 달성도

구 분	%	성취도 판단			특기사항 (우수성 또는 부진사유 등)
		부진	정상	우수	
목표 달성도	100			○	○ 우수성: 전례없는 최초의 연구결과

가. 정성적 성과

목표	달성내용	달성도	비고
○ 한반도 주변 영역의 유의파고 정보 제공을 위한 위성 활용 연구	○ 한반도 주변 위성 유의파고 산출 - 유의파고 산출 알고리즘 개발 - 알고리즘 적용한 유의파고 정보 검증 및 통계적 분석 결과 도출	100 %	

나. 정량적 성과

구 분		목표(건)	달성 실적(건)	주저자 실적	달성도	증빙자료(제출)*	비고
국외 논문	SCI	1	1	주저자 1건	100 %	증빙1(게재)	1건 투고 예정 (과제종료후 3년이내)
	SCIE				%		
국내 논문	SCI				%		
	SCIE				%		
특 허 출 원		1	1	1	90 %	특허명세서(안)	1건 출원예정 (출원비용문제 해결 이후 출원)
기 타							

다. 목표달성을 위한 과제수행 방법(효율성, 우수성 중심으로 기술)

목표	과제수행방법 (이론적·실험적 접근방법)	구체적인 내용*
한반도 주변 위성기반 유의파고 정보 산출	위성관측 ⇒ 복사모의 밝기온도 (실험)	위성관측 밝기온도를 복사모의한 밝기온도와의 변환
	거칠기 산출 (독자적 이론)	해상풍 영향에 따른 해수면의 거칠기 정보 산출
	해상풍 산출 (독자적 이론 및 실험)	위성기반 해상풍속 정보 산출
	해상풍 ⇒ 유의파고 변환식 도출 (이론 및 실험에 의한 회귀식)	한반도 주변 유의파고와 위성산출 해상풍과의 관계식 도출
	유의파고 산출 및 검증 (실험)	개발된 기법 적용한 유의파고 산출 및 부이 관측자료를 이용한 검증

라. 결과의 우수성

(1) 기존에 없던 한반도 주변 위성기반 유의파고 정보 제공 기술 개발

(가) 독자적 기술 개발로 선진 외국과 차별화된 기술임

(나) 누적된 자료를 이용한다면 우리나라 주변 파고의 기후변화적 특성 분석에도 적용 가능

(다) 동일한 방법을 적용하여 글로벌 유의파고 정보 생산 가능

(2) 일별 한반도 주변 위성기반 유의파고 정보 제공 가능

(가) 1일 1회 이상 동해, 서해, 남해 영역 (약 1,000 km 관측폭) 파고정보 제공 가능

* 매일 관측영역이 조금씩 바뀜 (위성의 궤도에 의존)

(나) 향후 가용한 위성을 추가한다면, 1일 2~3회 이상 유의파고 정보 생산 가능

(3) 연구비에 비해 우수한 연구실적 확보

(가) 관련 국제논문 게재 1편 및 추가로 1편 제출 예정

(나) 국내특허 출원 1건 중

2. 과제 결과

가. 국제전문학술지 게재 1건

(1) SCI 급

(가) 저널명: Journal of Atmospheric and Oceanic Technology

(나) 제목: A unique satellite-based sea surface wind speed algorithm and its

application into tropical cyclones intensity analysis, 33, 1363-1375.
doi=10.1175/JTECH-D-15-0128.1

(다) 저자: 홍성욱, 서화정, 권영주

(라) 현황: 게재 (2016년 7월)

(마) 사사 표기

Acknowledgments

The authors thank anonymous reviewers for constructive comments on the manuscript. This study is supported by the Meteorological Satellite Center (Project No. 153-3100-3137-302-210-13) and the **ISABU project of Korea Institute of Ocean Science and Technology (PE99361)**.

나. 특허출원 1건

(1) 국내특허 (2016)

(가) 특허명

: 인공위성을 이용한 유의파고 산출 기법 및 이를 구현한 시스템 (Method and system for retrieving significant wave height using satellites)

(나) 발명자

: 홍성욱, 신하얀

제 5 장 과제 결과의 활용계획

1절. 활용방안

본 연구과제의 결과를 다음과 같이 활용할 것을 제안한다.

1. 예상 활용분야 및 활용방안

가. 해양정보 모니터링

- (1) 모델, 부이관측, 위성관측을 통한 유의파고 정보 시너지 효과를 통해, 한반도 주변 유의파고 정보 모니터링 및 현업에 활용

나. 재해 및 안전

- (1) 태풍 및 쓰나미 등 파고가 높아질 때 조기 모니터링하여 대비하는 데 활용

다. 기후변화 감시

- (1) 기후변화에 따른 서해, 남해, 동해의 유의파고 변동성 분석에 활용

2. 추가연구, 기업화, 기술이전 등의 가능성

가. 추가연구

- (1) 본 연구 기술의 개선 및 실용화를 위해서 다년도(2~3년) 사업으로 추가 연구 필요
- (2) 관측위성 수를 확대(예를 들어, 1개 ⇨ 2개)로 한반도 주변 위성관측 파고정보를 보다 자주(하루 2번 ⇨ 하루4번) 확보할 수 있음

나. 기업화 및 기술이전

- (1) 개발한 기술을 이용하여 특정 지역에 특화
- (2) 산업분야에 특화된 정보로 재가공하여 서비스

다. 과제수행에 따른 문제점 및 개선방향

- (1) 예산 총액
 - (가) 연구원 추가하기에 비용이 과소하기에 향후 연구비 상향 조정 필요
- (2) 연구기간
 - (가) 안정적 기초기술 개발을 위해 단년도 사업에서 다년도(2~3년) 사업으로 확장 필요
- (3) 학술발표
 - (가) 국외학술발표 여건 부족

라. 기타 건의사항

(1) 계속과제 여부

(가) 본 과제 성과를 바탕으로 실용화를 위해 다년도(2~3년) 사업으로 확장 필요

(나) 관측위성 수 확대(예를 들어, 1개 ⇨ 2개)로 한반도 주변 위성관측 파고정보를 보다 자주(하루 2번 ⇨ 하루4번) 확보하여 활용해야 함

2절. 기대효과

1. 국내 해양연구에 발전에 미칠 수 있는 영향

가. 수동형 마이크로파를 이용한 파고 정보 새로운 기술 개발을 통해, 관련 해양 모델 및 관측 연구 발전에 중요한 기여가 있을 것으로 예상됨

2. 해당분야 학문발전의 기여효과

가. 위성관측 결과와 비교 및 합성 등 해당 분야의 모델 및 파고 관련 학문분야에 매우 중요한 역할을 할 수 있을 것으로 기대됨

나. 장기간 유의파고의 변화 모니터링을 통해 기후변화 연구에 기여 가능

3. 산업 발전에의 기여도 등 국가 경제에 미치는 효과

가. 위성 1기당 일 2회 유의파고 정보의 사용자(어업관련자, 해양교통분야 등 다양한 사용자에게 정보 제공을 통한 관련분야에 기여

나. 서해, 동해, 남해 권역별 및 맞춤형 유의파고 정보 웹기반 제공 등 중소규모 산업체 발전에 기여 가능

4. 과제수행 과정을 통한 연구 인력 양성 효과 등

가. 위성을 이용한 파고 정보 생산 및 분석이 가능한 전문인력 양성

3절. 연구 총평에 대한 답변

<p>○ 우수한 점(성과의 우수성 및 긍정적 측면)</p>	<p>○ 답변</p>
<ul style="list-style-type: none"> • 복사계를 이용하여 유의파고를 추정하는 새로운 시도임 • 당초 연구목표를 달성한 것으로 사료됨 • 대양연구를 하는데 인공위성자료를 활용하는 측면에서 과제 추진이 가능할 것으로 사료됨 • 파고 관측자료가 부족한 현실에서 본 연구의 결과가 활용이 된다면 향후 파고 예측의 정확도를 높일 수 있을 것으로 기대함 • 공동연구 및 기술이전 조치가 필요함 • 위성을 이용한 유의파고 정보를 알 수 있다면 추후 해양 활동에 많은 도움이 될 것으로 판단됨 	<ul style="list-style-type: none"> • 추후 연구과제가 계속되어 해양연의 모델과 결합하여 시너지 효과를 낼 수 있는 공동연구가 진행되길 기대함 • 기술 이전부분은 특허출원을 통해 상당부분 전수가 될 예정이며, 공동 연구가 추진되면 보다 효율적인 기술이전이 가능할 것임
<p>○ 미흡한 점 및 보완사항</p>	<p>○ 답변</p>
<ul style="list-style-type: none"> • 정확도 검증 및 개선을 위한 방안이 필요함 • 해양과기원의 KOOS와 연계한다면, 과제의 추진 필요성에 대한 재검토가 필요함 • 결과 검증을 위한 비교 자료가 추가되어야 할 것으로 사료됨 • 연구결과의 활용을 높이기 위해 수요처와의 긴밀한 협력이 요구됨 • 여러 위성자료를 활용해서 결과를 낼 수 있다면 더 정확하고 많은 자료를 만들 수 있을 것으로 사료됨 	<ul style="list-style-type: none"> • 추후 연구과제를 통해, 모델 관측자료와 정량적 검증이 추가될 예정임 • 추후 연구과제를 통해, SMOS, SMAP 등 더 긴 파장 관측이 가능한 위성자료 활용한 유의파고 산출이 가능하여, 보다 정확하고 많은 자료가 산출될 수 있을 것임

제 6 장 참고문헌

- Ding, S., P. Yang, F. Weng, Q. Liu, Y. Han, P. Van Delst, J. Li, and B. Baum, 2011: Validation of the community radiative transfer model. *J. Quant. Spectro. Radiative Transfer*, 112, 1050–1064.
- English, S. J., and T. J. Hewison, 1998: A fast generic millimeter-wave emissivity model, Microwave Remote Sensing of the Atmosphere and Environment. *Proc. SPIE* (3503), 288 - 300.
- Hong, S., 2009a: Retrieval of refractive index over specular surfaces for remote sensing applications. *J. Appl. Rem. Sens.*, 3, 033560.
- Hong, S., 2010a, Surface roughness and polarization ratio in microwave remote sensing, *Int. J. Rem. Sens.*, 31, 2709 - 2716.
- Hong, S., 2010b, Global retrieval of small-scale roughness over land surfaces at microwave frequency, *J. Hydrol.*, 389, 121 - 126.
- Hong, S., 2010c: Detection of small-scale roughness and refractive index of sea ice in passive satellite microwave remote sensing, *Rem. Sens. Environ.*, 114(5), 1136 - 1140.
- Hong, S., 2013: Polarization conversion for specular components of surface reflection, *IEEE Geosci. Rem. Sens. Lett.*, 10, 1469 - 1472.
- Hong, S. and I. Shin, 2010: Global trends of sea ice: small-scale roughness and refractive index, *J. Climate*, 23, 4669 - 4676.
- Hong, S. and I. Shin, 2011: A physically-based inversion algorithm for retrieving soil moisture in passive microwave remote sensing. *J. Hydrol.*, 405, 24 - 30.
- Hong, S. and I. Shin, 2013: Wind speed retrieval based on sea surface roughness measurements from spaceborne microwave radiometers. *J. Appl. Meteorol. Climatol.*, 52, 507 - 516.
- Hong, S., H.-J. Seo, and N. Kim, I. Shin, 2015: Physical retrieval of tropical ocean surface wind speed under rain-free conditions using spaceborne microwave radiometers. *Rem. Sens. Lett.*, 6, 380 - 389.
- Hong, S., I. Shin, Y. Byun, H.-J. Seo, and Y. Kim, 2014: Analysis of sea ice surface properties using ASH and Hong approximations in satellite remote sensing. *Rem. Sens. Lett.*, 5, 139 - 147.
- Kim, T., 2012, Examination of Altimeter Wave Data in the Sea Around Jeodo Ocean Research Station, 대한원격탐사학회지, 29, 95-100.
- Park, K.-A., H.-J. Woo, E.-Y. Lee, S. Hong, K.-L. Kim, 2013: Validation of Significant Wave Height from Satellite Altimeter in the Seas around Korea and Error Characteristics, 대한원격탐사학회지, 29, 631-644.

- Saunders, R., P. Rayer, T. Blackmore, M. Matricardi, P. Bauer, and D. Salmond, 2007: A new fast radiative transfer model - RTTOV-9, In *Joint 2007 EUMETSAT Meteorological Satellite Conf and the 15th Satellite Meteorology and Oceanography Conf of the American Meteorological Society*, Amsterdam, Netherlands, 2007.
- SchÖne, T. and S. Eickschen, 2001: Wind Speed and SWH Calibration for Radar Altimetry in the North Sea. Proceedings of the ESA - ERS/ENVISAT Symposium, Gothenburg, Sweden, Oct. 2000, 2001.
- The WAMDI group, S. Hasselmann, K. Hasselmann, E. Bauer, P.A.E.M. Janssen, G. J. Komen, L. Bertotti, P. Lionello, A. Guillaume, V. C. Cardone, and J. A. Greenwood, 1988: The WAM model - a third generation ocean wave prediction model, *J. Phys. Ocean.*, 18, 1775-1810.
- Uppala, S. M., P. W. Kållberg, A. J. Simmons, U. Andrae, V. da Costa Bechtold, M. Fiorino, J. K. Gibson, J. Haseler, A. Hernandez, G. A. Kelly, X. Li, K. Onogi, S. Saarinen, N. Sokka, R. P. Allan, E. Andersson, K. Arpe, M. A. Balmaseda, A. C. M. Beljaars, L. van de Berg, J. Bidlot, N. Bormann, S. Caires, A. Dethof, M. Dragosavac, M. Fisher, M. Fuentes, S. Hagemann, E. Hólm, B.J. Hoskins, L. Isaksen, P. A. E. M. Janssen, A. P. McNally, J.-F. Mahfouf, R. Jenne, J.-J. Morcrette, N. A. Rayner, R. W. Saunders, P. Simon, A. Sterl, K.E. Trenberth, A. Untch, D. Vasiljevic, P. Viterbo, and J. Woollen, 2006: The ERA-40 Re-analysis. *Q. J. Roy. Meteor. Soc.*, **131**, 2961 - 3012.
- Wentz, F. J., and T. Meissner, 2000: *AMSR ocean algorithm theoretical basis document-Version 2*, Remote Sensing Systems, Santa Rosa, CA.

제 7 장 특허명세서

【명세서】

【발명의 명칭】

인공위성을 이용한 유의파고 산출 장치 및 방법{SYSTEM AND METHOD FOR RETRIEVING SIGNIFICANT WAVE HEIGHT USING SATELLITES}

【기술분야】

본 발명은 인공위성을 이용한 유의파고 산출 장치 및 방법에 관한 것으로, 특히 인공위성에 탑재된 수동형 마이크로파 센서에 의해 관측된 밝기온도를 이용하여 해상풍 풍속 정보를 산출하고 이 산출된 해상풍 풍속 정보로부터 해수면 위의 유의파고(SWH: Significant Wave Height) 정보를 산출하는, 인공위성을 이용한 유의파고 산출 장치 및 방법에 관한 것이다.

【발명의 배경이 되는 기술】

일반적으로 바다 표면의 유의파고는 특정시간 주기 내에서 일어나는 모든 파고 중 가장 높은 파고 1/3의 평균 파고를 말하며, 기상, 기후, 해양, 어업 등 다양한 분야에서 매우 중요한 기본 정보중 하나이다. 대한민국이나 외국을 포함한 대부분의 나라에서는 근해 부근에 해상부이(buoy) 등을 설치하거나, 선박 등을 이용하여 파고의 높이를 정기적, 부정기적으로 측정하여 바다의 상태에 대한 정보를 국민 등 필요한 사용자에게 제공하고 있다. 대표적인 자연재해인 태풍이 대한민국에 접근할 때에는 높은 파고가 발생하여, 국민들에게 재산상 재해 또는 인명 재해를 발생시키기도 한다. 또한 선박들의 출입항에도 영향을 주기 때문에, 경제적으로도 파고 정보는 매우 중요하다.

종래의 파고 계측용 부이는 예컨대, 국내 실용신안 등록 제432985호 공보에 개시된 바와 같이, 제 1 길이와 제 1 직경을 갖는 원통형 몸체부와, 상기 제 1 길이에 비해 상대적으로 긴 제 2 길이와, 상기 제 1 직경에 비해 상대적으로 작은 제 2 직경을 가지며 상기 원통형 몸체부의 하단부로부터 연장하는 원통형 다리부와, 상기 원통형 다리부의 하단부에 연결된 와이어와, 상기 와이어의 하단부에 연결된 무게추와, 상기 원통형 몸체부의 내부에 배치되는 가속도 센서와, 상기 가속도 센서의 신호를 처리하는 연산부를 포함하는 파고 계측용 부이를 포함하여 구성된다.

그러나 이와 같은 종래의 파고 계측용 부이는 설치되어 있는 해상 부이 들이 주로 해안가를 따라서 설치되어 있으므로 매우 넓은 범위의 바다에 대해 관측 공백이 존재한다. 도 10은 미국해양대기청(NOAA, National Oceanic and Atmospheric Administration)에서 활용하고 있는 해상 부이 자료 들의 분포도를 나타내며, 넓은 범위의 바다에 대해 큰 관측 공백이 존재함을 알 수 있다.

한편, 대부분 국가들에서는 해양조건을 모의 할 수 있는 해양모델을 이용하여 파고 정

보를 예측하고 있다. 인공위성을 이용한 기법에는 주로 고도계(Altimeter) 센서가 장착된 위성들이 인공위성에서 해수면 위로 직접 발사한 신호가 되돌아와서 다시 탐지된 신호를 분석하여 유의파고 정보를 제공하고 있으나, 단점으로는 이러한 인공위성 들은 바다 위의 동일 지점을 다시 관측하는데 약 10일 정도나 걸리고, 관측 순간에도 매우 좁은 영역만 관측할 수 있다는 문제점이 있다. 도 11은 2012년도에 우리나라를 강타한 태풍 볼라벤(a)과 그 시기에 위성고도계가 관측한 지점을 나타내며(b), 태풍의 특성을 분석하기에는 위성 고도계가 절대적으로 부족한 자료 수 및 시공간 해상도를 가짐을 알 수 있다.

【발명의 내용】

【해결하고자 하는 과제】

따라서 본 발명은 상기와 같은 문제점을 해결하기 위해 이루어진 것으로서, 본 발명의 목적은 광역적 관측 공백 영역을 커버하고, 유의파고정보를 자주 제공할 수 있는, 인공위성을 이용한 유의파고 산출 장치 및 방법을 제공하는 데에 있다.

【과제의 해결 수단】

상기의 목적을 달성하기 위해, 본 발명의 일 실시형태에 의한 인공위성을 이용한 유의파고 산출 장치는 인공위성에 탑재된 수동형 마이크로파 센서에 의해 관측된 수직 편광 밝기온도를 입력받아 모의 밝기온도로 변환하도록 구성된 수직 편광 밝기온도 관측부; 상기 수직 편광 밝기온도 관측부에서 모의 밝기온도를 입력받아 수직 편광 반사도를 산출함과 아울러 수치모델 자료를 복사전달모델에 입력하여 수평 편광 반사도를 산출하도록 구성된 반사도 산출부; 상기 반사도 산출부에 의해 산출된 수직 편광 반사도 및 수평 편광 반사도로부터 해수면의 거칠기(Roughness)를 산출하도록 구성된 해수면 거칠기 산출부; 상기 해수면 거칠기 산출부에 의해 산출된 해수면의 거칠기로부터 해상풍 풍속 정보를 산출하도록 구성된 해상풍 산출부; 및 상기 해상풍 산출부에 의해 산출된 해상풍 풍속 정보로부터 다음 수학식 5

[수학식 5]

$$SWH = a_0 + a_1 \cdot W_s + a_2 \cdot W_s^2$$

[여기서, SWH는 유의파고를 나타내며, W_s 는 해상풍 풍속을 나타내며, a_0 , a_1 및 a_2 는 회귀관계식의 회귀 계수를 나타냄]

에 의해 유의파고를 산출하도록 구성된 파고 정보 산출부를 포함하는 것을 특징으로 한다.

상기 일 실시형태에 의한 인공위성을 이용한 유의파고 산출 장치에 있어서, 상기 수직 편광 밝기온도 관측부는, 상기 관측된 수직 편광 밝기온도를 다음 수학식 1

[수학식 1]

$$T_{B,H,Sim} = a_{1,H} \cdot T_{B,Obs} + a_{2,H}$$

$$T_{B,V,Sim} = a_{1,V} \cdot T_{B,Obs} + a_{2,V}$$

[여기서, $T_{B,Sim}$ 는 모의 밝기온도를 나타내고, $T_{B,Obs}$ 는 수직 편광 밝기온도를 나타내며, $a_{1,V}$, $a_{2,V}$, $a_{1,H}$, $a_{2,H}$ 는 회귀관계식의 편광별 회귀 계수와 기울기를 나타내며, 첨자 V는 수직 편광, 첨자 H는 수평편광을 나타냄]

에 의해 모의 밝기온도로 변환하도록 더 구성될 수 있다.

상기 일실시형태에 의한 인공위성을 이용한 유의파고 산출 장치에 있어서, 상기 반사도 산출부는 상기 모의 밝기온도로부터 다음 수학식 2

[수학식 2]

$$R_{R,V} = b_{1,V} \cdot T_{B,V,Sim} + b_{2,V}$$

[여기서, $R_{R,V}$ 는 수직 편광 반사도를 나타내고, $b_{1,V}$, $b_{2,V}$ 는 회귀관계식의 회귀계수이고 기울기와 절편을 각각 의미하며, $T_{B,V,Sim}$ 은 모의 밝기온도를 나타내며, 첨자 V는 수직편광을 나타냄]

에 의해 수직 편광 반사도를 산출하도록 더 구성될 수 있다.

상기 일실시형태에 의한 인공위성을 이용한 유의파고 산출 장치에 있어서, 상기 해수면 거칠기 산출부는, 상기 수직 편광 반사도 및 수평 편광 반사도로부터 다음 수학식 3

[수학식 3]

$$\sigma \approx \frac{\lambda}{4\pi \cos\theta} \cdot \sqrt{\ln \left(\frac{R_{R,H}^{\sec^2\theta}}{R_{R,V}} \right)}$$

[여기서, σ 는 해수면 거칠기를 나타내고, $R_{R,V}$ 는 수직 편광 반사도를 나타내며, $R_{R,H}$ 는 수평 편광 반사도를 나타내며, θ 는 위성천정각을 나타냄]

에 의해 해수면의 거칠기를 산출하도록 더 구성될 수 있다.

상기 일실시형태에 의한 인공위성을 이용한 유의파고 산출 장치에 있어서, 상기 해상풍 산출부는 상기 해수면 거칠기로부터 다음 수학식 4

[수학식 4]

$$\sigma = c_1 \cdot W_s + c_2$$

[여기서, σ 는 해수면 거칠기를 나타내고, C_1 , C_2 는 회귀관계식의 회귀 계수로서 기울기

와 절편을 나타내며, W_s 는 해상풍의 풍속을 나타냄]

에 의해 해상풍 풍속 정보를 산출하도록 더 구성될 수 있다.

상기의 목적을 달성하기 위해, 본 발명의 다른 실시형태에 의한 인공위성을 이용한 유의파고 산출 방법은 수직 편광 밝기온도 관측부가 인공위성에 탑재된 수동형 마이크로파 센서에 의해 관측된 수직 편광 밝기온도를 입력받아 모의 밝기온도로 변환하는 단계; 반사도 산출부가 상기 모의 밝기온도 변환 단계에서 변환된 상기 모의 밝기온도를 입력받아 수직 편광 반사도를 산출함과 아울러 수치모델 자료를 복사전달모델에 입력하여 수평 편광 반사도를 산출하는 단계; 거칠기 산출부가 상기 산출된 수직 편광 반사도 및 수평 편광 반사도로부터 해수면의 거칠기를 산출하는 단계; 해상풍 산출부가 상기 해수면 거칠기 산출 단계에서 산출된 상기 해수면의 거칠기로부터 해상풍 풍속 정보를 산출하는 단계; 및 파고 정보 산출부가 상기 해상풍 산출 단계에 의해 산출된 해상풍 풍속 정보로부터 다음 수학적 식 5

[수학적 식 5]

$$SWH = a_0 + a_1 \cdot W_s + a_2 \cdot W_s^2$$

[여기서, SWH는 유의파고를 나타내며, W_s 는 해상풍 풍속을 나타내며, a_0 , a_1 및 a_2 는 회귀관계식의 회귀 계수를 나타냄]

에 의해 유의파고를 산출하는 단계를 포함하는 것을 특징으로 한다.

상기 다른 실시형태에 의한 인공위성을 이용한 유의파고 산출 방법에 있어서, 상기 모의 밝기온도 변환 단계는, 상기 관측된 수직 편광 밝기온도를 다음 수학적 식 1

[수학적 식 1]

$$T_{B,H,Sim} = a_{1,H} \cdot T_{B,Obs} + a_{2,H}$$

$$T_{B,V,Sim} = a_{1,V} \cdot T_{B,Obs} + a_{2,V}$$

[여기서, $T_{B,Sim}$ 는 모의 밝기온도를 나타내고, $T_{B,Obs}$ 는 수직 편광 밝기온도를 나타내며, $a_{1,V}$, $a_{2,V}$, $a_{1,H}$, $a_{2,H}$ 는 회귀관계식의 편광별 회귀 계수와 기울기를 나타내며, 첨자 V는 수직 편광, 첨자 H는 수평편광을 나타냄]

에 의해 모의 밝기온도로 변환하는 단계를 포함할 수 있다.

상기 다른 실시형태에 의한 인공위성을 이용한 유의파고 산출 방법에 있어서, 상기 반사도 산출 단계는, 상기 모의 밝기온도로부터 다음 수학적 식 2

[수학적 식 2]

$$R_{R,V} = b_{1,V} \cdot T_{B,V,Sim} + b_{2,V}$$

[여기서, $R_{R,V}$ 는 수직 편광 반사도를 나타내고, $b_{1,V}$, $b_{2,V}$ 는 회귀관계식의 회귀계수이고 기울기와 절편을 각각 의미하며, $T_{B,V,Sim}$ 은 모의 밝기온도를 나타내며, 첨자 V 는 수직편광을 나타냄]

에 의해 수직 편광 반사도를 산출하는 단계를 포함할 수 있다.

상기 다른 실시형태에 의한 인공위성을 이용한 유의파고 산출 방법에 있어서, 상기 해수면 거칠기 산출 단계는, 상기 수직 편광 반사도 및 수평 편광 반사도로부터 다음 수학적 식 3

[수학적 식 3]

$$\sigma \approx \frac{\lambda}{4\pi \cos\theta} \cdot \sqrt{\ln \left(\frac{R_{R,H}^{\sec^2\theta}}{R_{R,V}} \right)}$$

[여기서, σ 는 해수면 거칠기를 나타내고, $R_{R,V}$ 는 수직 편광 반사도를 나타내며, $R_{R,H}$ 는 수평 편광 반사도를 나타내며, θ 는 위성천정각을 나타냄]

에 의해 해수면의 거칠기를 산출하는 단계를 포함할 수 있다.

상기 다른 실시형태에 의한 인공위성을 이용한 유의파고 산출 방법에 있어서, 상기 해상풍 풍속 정보 산출 단계는, 상기 해수면 거칠기로부터 다음 수학적 식 4

[수학적 식 4]

$$\sigma = c_1 \cdot W_s + c_2$$

[여기서, σ 는 해수면 거칠기를 나타내고, C_1 , C_2 는 회귀관계식의 회귀 계수로서 기울기와 절편을 나타내며, W_s 는 해상풍의 풍속을 나타냄]

에 의해 해상풍 풍속 정보를 산출하는 단계를 포함할 수 있다.

【발명의 효과】

본 발명의 실시형태에 의한, 인공위성을 이용한 유의파고 산출 장치 및 방법에 의하면, 수직 편광 밝기온도 관측부가 인공위성에 탑재된 수동형 마이크로파 센서에 의해 관측된 수직 편광 밝기온도를 입력받아 모의 밝기온도로 변환하고, 반사도 산출부가 상기 모의 밝기온도를 입력받아 수직 편광 반사도를 산출함과 아울러 수치모델 자료를 복사전달모델에 입력하여 수평 편광 반사도를 산출하며, 거칠기 산출부가 산출된 상기 수직 편광 반사도 및 수평 편광 반사도로부터 해수면의 거칠기를 산출하며, 해상풍 산출부가 산출된 상기 해수면의 거칠기로부터 해상풍 풍속 정보를 산출하며, 파고 정보 산출부가 산출된 상기 해상풍 풍속 정보로부터 수학적 식에 의해 유의파고를 산출하도록 구성됨으로써, 종래의 파고 계측용 부이를 해안가를 따라서 설치함으로써 발생하는 매우 넓은 범위의 바다에 대한 관측 공백 현상을 해소할 수 있으며 광역적 관측 공백 영역을 커버할 수 있다는 뛰어난 효과가 있으며, 인공위성의 관측 정보를 이용

하여 수학적식으로 유의파고정보를 산출할 수 있으므로 정확한 유의파고정보를 하루 1회 이상 자주 제공할 수 있다는 뛰어난 효과가 있다.

또한 이와 같은 유의파고 정보는 태풍과 같은 재난재해 및 기후연구, 파력 에너지, 어업 등 다양한 분야에 응용될 수 있는 기초 정보로서, 국민의 생명과 재산을 보호하는데 매우 유용하게 사용될 수 있다.

【도면의 간단한 설명】

도 1은 본 발명의 실시예에 의한, 인공위성을 이용한 유의파고 산출 장치에 대한 제어 블록도이다.

도 2는 도 1의 인공위성을 이용한 유의파고 산출 장치를 이용한, 인공위성을 이용한 유의파고 산출방법을 설명하기 위한 플로우차트이다.

도 3은 수동형 마이크로파 위성의 관측자료와 약 1개월 정도 시공간을 일치시킨 부이 자료를 나타내는 도면이다.

도 4는 위성 관측 자료와 부이 자료의 일치를 나타내는 도면이다.

도 5는 보버트 풍력 계급(Beaufort scale)을 나타내는 도면이다.

도 6은 마이크로파 위성을 이용한 해상풍 풍속 정보와 이를 이용하여 산출된 파고의 관계를 나타낸 도면이다.

도 7은 도 1의 인공위성을 이용한 유의파고 산출 장치를 이용하여 산출한 파고를 검증한 결과를 나타낸 도면이다.

도 8은 도 1의 인공위성을 이용한 유의파고 산출 장치를 이용하여 산출한 대한민국 주변의 파고 정보를 예시한 도면이다.

도 9는 도 1의 인공위성을 이용한 유의파고 산출 장치를 소프트웨어로 구현한 예를 나타낸 도면이다.

도 10은 NOAA에서 활용하고 있는 해상 부이 자료 들의 분포도이다.

도 11은 2012년에 대한민국을 강타한 태풍 블라벨(a)과 그 시기에 위성고도계에 의해 관측된 지점(b)을 나타내는 도면이다.

【발명을 실시하기 위한 구체적인 내용】

이하, 본 발명의 실시예를 도면을 참조하여 상세히 설명하기로 한다.

도 1은 본 발명의 실시예에 의한, 인공위성을 이용한 유의파고 산출 장치에 대한 제어 블록도이다.

본 발명의 실시예에 의한, 인공위성을 이용한 유의파고 산출 장치는, 도 1에 도시된 바와 같이, 수직 편광 밝기온도 관측부(100), 반사도 산출부(200), 해수면 거칠기 산출부(300), 해상풍 산출부(400) 및 파고 정보 산출부(500)를 포함한다.

수직 편광 밝기온도 관측부(100)는 인공위성에 탑재된 수동형 마이크로파 센서(도시되

지 않음)에 의해 관측된 수직 편광 밝기온도($T_{B,Obs}$)를 입력받아 모의 밝기온도($T_{B,Sim}$)로 변환하는 역할을 하며, 수동형 마이크로파센서에 의해 관측된 수직 편광 밝기온도($T_{B,Obs}$)를 다음 [수학식 1]

[수학식 1]

$$T_{B,H,Sim} = a_{1,H} \cdot T_{B,Obs} + a_{2,H}$$

$$T_{B,V,Sim} = a_{1,V} \cdot T_{B,Obs} + a_{2,V}$$

[여기서, $T_{B,Sim}$ 는 모의 밝기온도를 나타내고, $T_{B,Obs}$ 는 수직 편광 밝기온도를 나타내며, $a_{1,V}$, $a_{2,V}$, $a_{1,H}$, $a_{2,H}$ 는 회귀관계식의 편광별 회귀 계수와 기울기를 나타내며, 첨자 V는 수직 편광, 첨자 H는 수평편광을 나타냄]

에 의해 모의 밝기온도($T_{B,Sim}$)로 변환한다.

반사도 산출부(200)는 수직 편광 밝기온도 관측부(100)에서 획득된 모의 밝기온도($T_{B,Sim}$)를 입력받아 다음 [수학식 2]

[수학식 2]

$$R_{R,V} = b_{1,V} \cdot T_{B,V,Sim} + b_{2,V}$$

[여기서, $R_{R,V}$ 는 수직 편광 반사도를 나타내고, $b_{1,V}$, $b_{2,V}$ 는 회귀관계식의 회귀계수이고 기울기와 절편을 각각 의미하며, $T_{B,V,Sim}$ 은 모의 밝기온도를 나타내며, 첨자 V는 수직편광을 나타냄]

에 의해 해상풍 산출을 위하여 반드시 필요한 수직 편광 반사도($R_{R,V}$)를 산출하며, 수치모델 자료를 복사전달모델에 입력하여 수평 편광 반사도($R_{R,H}$)를 산출하는 역할을 한다.

해수면 거칠기 산출부(300)는 반사도 산출부(200)에 의해 산출된 수직 편광 반사도($R_{R,V}$) 및 수평 편광 반사도($R_{R,H}$)로부터 다음 [수학식 3]

[수학식 3]

$$\sigma \approx \frac{\lambda}{4\pi \cos\theta} \cdot \sqrt{\ln\left(\frac{R_{R,H}^{\sec^2\theta}}{R_{R,V}}\right)}$$

[여기서, σ 는 해수면 거칠기를 나타내고, $R_{R,V}$ 는 수직 편광 반사도를 나타내며, $R_{R,H}$ 는 수평 편광 반사도를 나타내며, θ 는 위성천정각을 나타냄]

에 의해 해수면의 거칠기(σ)를 산출하는 역할을 한다.

해상풍 산출부(400)는 해수면 거칠기 산출부(300)에 의해 산출된 해수면의 거칠기(σ)로부터 다음 [수학식 4]

[수학식 4]

$$\sigma = c_1 \cdot W_s + c_2$$

[여기서, σ 는 해수면 거칠기를 나타내고, C_1 , C_2 는 회귀관계식의 회귀 계수로서 기울기와 절편을 나타내며, W_s 는 해상풍의 풍속을 나타냄]

에 의해 해상풍 풍속(W_s) 정보를 산출하는 역할을 한다.

파고 정보 산출부(500)는 해상풍 산출부(400)에 의해 산출된 해상풍 풍속(W_s) 정보로부터 다음 [수학식 5]

[수학식 5]

$$SWH = a_0 + a_1 \cdot W_s + a_2 \cdot W_s^2$$

[여기서, SWH는 유의파고를 나타내며, W_s 는 해상풍 풍속을 나타내고, a_0 , a_1 및 a_2 는 회귀관계식의 회귀 계수를 나타냄]

에 의해 유의파고(SWH)를 산출하는 역할을 한다.

이하, 상기한 바와 같은 구성 요소로 이루어진 본 발명의 실시예에 의한 인공위성을 이용한 유의파고 산출 장치를 이용한, 인공위성을 이용한 유의파고 산출 방법을 설명하기로 한다.

도 2는 도 1의 인공위성을 이용한 유의파고 산출 장치를 이용한, 인공위성을 이용한 유의파고 산출방법을 설명하기 위한 흐름도(Flowchart)로서, 여기서 S는 스텝(step)을 의미한다.

먼저, 수직 편광 밝기온도 관측부(100)가 인공위성에 탑재된 수동형 마이크로파 센서에 의해 관측된 수직 편광 밝기온도($T_{B,Obs}$)를 입력받아 다음의 [수학식 1]

[수학식 1]

$$T_{B,H,Sim} = a_{1,H} \cdot T_{B,Obs} + a_{2,H}$$

$$T_{B,V,Sim} = a_{1,V} \cdot T_{B,Obs} + a_{2,V}$$

[여기서, $T_{B,Sim}$ 는 모의 밝기온도를 나타내고, $T_{B,Obs}$ 는 수직 편광 밝기온도를 나타내

며, $\alpha_{1,V}$, $\alpha_{2,V}$, $\alpha_{1,H}$, $\alpha_{2,H}$ 는 회귀관계식의 편광별 회귀 계수와 기울기를 나타내며, 첨자 V는 수직 편광, 첨자 H는 수평편광을 나타냄]

에 의해 모의 밝기온도($T_{B,Sim}$)로 변환한다(S10)

이어서, 스텝(S20)에서는 반사도 산출부(200)가 상기 스텝(S10)에서 획득된 모의 밝기 온도($T_{B,Sim}$)를 입력받아 다음 [수학식 2]

[수학식 2]

$$R_{R,V} = b_{1,V} \cdot T_{B,V,Sim} + b_{2,V}$$

[여기서, $R_{R,V}$ 는 수직 편광 반사도를 나타내고, $b_{1,V}$, $b_{2,V}$ 는 회귀관계식의 회귀계수이고 기울기와 절편을 각각 의미하며, $T_{B,V,Sim}$ 은 모의 밝기온도를 나타내며, 첨자 V는 수직편광을 나타냄]

에 의해 수직 편광 반사도($R_{R,V}$)를 산출함과 아울러, 수치모델 자료를 복사전달모델에 입력하여 수평 편광 반사도($R_{R,H}$)를 산출한다.

스텝(S30)에서는 해수면 거칠기 산출부(300)가 상기 스텝(S20)에서 산출된 수직 편광 반사도($R_{R,V}$) 및 수평 편광 반사도($R_{R,H}$)로부터 다음 [수학식 3]

[수학식 3]

$$\sigma \approx \frac{\lambda}{4\pi \cos\theta} \cdot \sqrt{\ln\left(\frac{R_{R,H}^{\sec^2\theta}}{R_{R,V}}\right)}$$

[여기서, σ 는 해수면 거칠기를 나타내고, $R_{R,V}$ 는 수직 편광 반사도를 나타내며, $R_{R,H}$ 는 수평 편광 반사도를 나타내며, θ 는 위성천정각을 나타냄]

에 의해 해수면의 거칠기(σ)를 산출한다.

스텝(S40)에서는 해상풍 산출부(400)가 상기 스텝(S30)에서 산출된 해수면의 거칠기(σ)로부터 다음 [수학식 4]

[수학식 4]

$$\sigma = c_1 \cdot W_S + c_2$$

[여기서, σ 는 해수면 거칠기를 나타내고, C_1 , C_2 는 회귀관계식의 회귀 계수로서 기울기와 절편을 나타내며, W_S 는 해상풍의 풍속을 나타냄]

에 의해 해상풍 풍속(W_s) 정보를 산출한다.

스텝(S50)에서는 파고 정보 산출부(500)가 상기 스텝(S40)에서 산출된 해상풍 풍속 (W_s) 정보로부터 다음 [수학식 5]

[수학식 5]

$$SWH = a_0 + a_1 \cdot W_s + a_2 \cdot W_s^2$$

[여기서, SWH는 유의파고를 나타내며, W_s 는 해상풍 풍속을 나타내며, a_0 , a_1 및 a_2 는 회귀관계식의 회귀 계수를 나타냄]

에 의해 유의파고(SWH)를 산출한다.

이하, 위와 같이 구성된 인공위성을 이용한 유의파고 산출 장치에 의해 산출된 유의파고의 정확성에 대해 검증하기로 한다.

수동형 마이크로파 위성인 GCOM-W1의 AMSR2 센서 (Wentz and Meissner, 2000)의 관측자료와 우리나라 주변 해상 부이자료(기상청에서 제공됨)를 약 1 개월(2014년 10월 1일 ~ 10월 30일) 정도 시공간 일치율을 시켰다. 부이 자료는 동해, 서해, 남해를 대표할 수 있도록 하였고, 도 3은 각각의 부이 자료를 설명한다.

도 4는 위성 관측 자료와 부이 자료의 일치율을 예시하는 도면이다.

다음의 [표 1]은 본 발명에서 제시하는 파고-해상풍 관계식의 계수들을 나타낸다.

[표 1]

계수	a_0	a_1	a_2	비고
값	0.5792	0.0179	0.0129	

도 5는 보버트 풍력 계급(Beaufort scale)을 나타내는 도면이다.

도 5에 도시된 보버트 풍력 계급과 본 발명에 의한 [수학식 5]를 모두 테스트 해보았을 때, 두 경우 모두 유의미한 결과를 나타내었으나, 본 발명에서 제시된 파고-해상풍 관계식인 [수학식 5]가 더욱 정확하게 파고 정보를 산출할 수 있음이 확인 되었다.

도 6은 마이크로파 위성을 이용한 해상풍 풍속정보와 이를 이용하여 산출된 파고의 관계를 나타낸 도면이며, 도 7은 도 1의 인공위성을 이용한 유의파고 산출 장치를 이용하여 산출

한 파고를 검증한 결과를 나타낸 도면이다. 파고-해상풍 관계식은 상기 [수학식 5]와 [표 1]을 이용하였다. 검증을 위해 동일한 부이 자료를 기간을 늘려서, 약 1년에 해당하는 기간(2014년 1월 1일 ~ 11월 20)의 위성 자료와 부이 자료를 이용하였다. 위성 자료의 밝기온도로부터 본 발명에서 제시된 [수학식 5]까지 적용하여 산출된 유의파고와 각각의 부이에서 관측된 파고 정보를 시공간 일치시켜서 비교하였다. 오차(Bias)는 약 0.29m 였고, 불확정도(RMSE)는 0.58m 였으며, 상관계수(R)는 약 0.575 정도로 나왔다. 이 정도이면 강한 상관관계가 있다는 의미이며, 대략±58cm 정도의 오차범위내에서 정확하다는 것을 의미한다. 현재 기상청에서 관측이 아닌 해양모델로 계산되어 발표되는 파고의 정보가 미터(m) 단위임을 고려하고, 기존 연구를 통해서 알려진 파고정보의 정확도를 볼 때, 유사한 정확도를 가지며, 매우 유용함을 알 수 있다.

도 8은 도 1의 인공위성을 이용한 유의파고 산출 장치를 이용하여 산출한 대한민국 주변의 파고 정보를 예시한 도면이다. GCOMW-1 위성에 탑재된 AMSR-2 센서의 6.9GHz 채널에서 관측된 밝기온도를 이용하였고, 대한민국의 파고의 예는 2014년 10월 2일에 18UTC에 대해 본발명에 의해 산출된 유의파고의 결과[도 8의 (a)]와 동일시간에 대한 기상청 수치모델 결과[도 8의 (b)]를 나타낸다. 간접적인 정성평가를 통해서 볼 때 매우 정확하게 유의파고 정보를 산출해 내는 것을 알 수 있다. 도 8의 (c)의 지구파고의 예는 2011년 8월 4일에 대해 전 지구영역에 대해 산출된 파고정보이다.

한편, 도 9는 도 1의 인공위성을 이용한 유의파고 산출 장치를 소프트웨어로 구현한 예를 나타낸 도면으로서, 본 발명의 실시 예에 의한 위성을 이용한 유의파고 산출 장치는 소프트웨어를 통해 구현 가능함을 알 수 있다. 이에 따라 본 발명의 실시 예에 의한 위성을 이용한 유의파고 산출 장치 및 방법은 소프트웨어적인 구성으로 컴퓨터에서 처리 가능한 프로그램으로 제작 가능함을 알 수 있다.

본 발명의 실시 예에 의한, 인공위성을 이용한 유의파고 산출 장치 및 방법에 의하면, 수직 편광 밝기온도 관측부가 인공위성에 탑재된 수동형 마이크로파 센서에 의해 관측된 수직 편광 밝기온도를 입력받아 모의 밝기온도로 변환하고, 반사도 산출부가 상기 모의 밝기온도를 입력받아 수직 편광 반사도를 산출함과 아울러 수치모델 자료를 복사전달모델에 입력하여 수평 편광 반사도를 산출하며, 거칠기 산출부가 산출된 상기 수직 편광 반사도 및 수평 편광 반사도로부터 해수면의 거칠기를 산출하며, 해상풍 산출부가 산출된 상기 해수면의 거칠기로부터 해상풍 풍속 정보를 산출하며, 파고 정보 산출부가 산출된 상기 해상풍 풍속 정보로부터 수학식에 의해 유의파고를 산출하도록 구성됨으로써, 종래의 파고 계측용 부이를 해안가를 따라서 설치함으로써 발생하는 매우 넓은 범위의 바다에 대한 관측 공백 현상을 해소할 수 있으며 광역적 관측 공백 영역을 커버할 수 있으며, 인공위성의 관측 정보를 이용하여 수학식으로 유의파고정보를 산출할 수 있으므로 정확한 유의파고정보를 하루 1회 이상 자주 제공할 수 있다.

또한 이와 같은 유의파고 정보는 태풍과 같은 재난재해 및 기후연구, 파력 에너지, 어업 등 다양한 분야에 응용될 수 있는 기초 정보로서, 국민의 생명과 재산을 보호하는데 매우

유용하게 사용될 수 있다.

도면과 명세서에는 최적의 실시 예가 개시되었으며, 특정한 용어들이 사용되었으나 이는 단지 본 발명의 실시형태를 설명하기 위한 목적으로 사용된 것이지 의미를 한정하거나 특허청구범위에 기재된 본 발명의 범위를 제한하기 위하여 사용된 것은 아니다. 그러므로 본 기술 분야의 통상의 지식을 가진 자라면 이로부터 다양한 변형 및 균등한 타 실시예가 가능하다는 점을 이해할 수 있을 것이다. 따라서 본 발명의 진정한 기술적 보호범위는 첨부된 특허청구범위의 기술적 사상에 의해 정해져야 할 것이다.

【부호의 설명】

- 100: 수직 편광 밝기온도 관측부
- 200: 반사도 산출부
- 300: 해수면 거칠기 산출부
- 400: 해상풍 산출부
- 500: 파고 정보 산출부

【특허청구범위】

【청구항 1】

인공위성에 탑재된 수동형 마이크로파 센서에 의해 관측된 수직 편광 밝기온도를 입력받아 모의 밝기온도로 변환하도록 구성된 수직 편광 밝기온도 관측부;

상기 수직 편광 밝기온도 관측부에서 모의 밝기온도를 입력받아 수직 편광 반사도를 산출함과 아울러 수치모델 자료를 복사전달모델에 입력하여 수평 편광 반사도를 산출하도록 구성된 반사도 산출부;

상기 반사도 산출부에 의해 산출된 수직 편광 반사도 및 수평 편광 반사도로부터 해수면의 거칠기를 산출하도록 구성된 해수면 거칠기 산출부;

상기 해수면 거칠기 산출부에 의해 산출된 해수면의 거칠기로부터 해상풍 풍속 정보를 산출하도록 구성된 해상풍 산출부; 및

상기 해상풍 산출부에 의해 산출된 해상풍 풍속 정보로부터 다음 수학적식 5

[수학적식 5]

$$SWH = a_0 + a_1 \cdot W_s + a_2 \cdot W_s^2$$

[여기서, SWH는 유의파고를 나타내며, W_s 는 해상풍 풍속을 나타내며, a_0 , a_1 및 a_2 는 회귀관계식의 회귀 계수를 나타냄]

에 의해 유의파고를 산출하도록 구성된 파고 정보 산출부를 포함하는, 인공위성을 이용한 유의파고 산출 장치.

【청구항 2】

제 1 항에 있어서,
상기 수직 편광 밝기온도 관측부는,
상기 관측된 수직 편광 밝기온도를 다음 수학적 식 1

[수학적 식 1]

$$T_{B,H,Sim} = a_{1,H} \cdot T_{B,Obs} + a_{2,H}$$

$$T_{B,V,Sim} = a_{1,V} \cdot T_{B,Obs} + a_{2,V}$$

[여기서, $T_{B,Sim}$ 는 모의 밝기온도를 나타내고, $T_{B,Obs}$ 는 수직 편광 밝기온도를 나타내며, $a_{1,V}$, $a_{2,V}$, $a_{1,H}$, $a_{2,H}$ 는 회귀관계식의 편광별 회귀 계수와 기울기를 나타내며, 첨자 V는 수직 편광, 첨자 H는 수평편광을 나타냄]

에 의해 모의 밝기온도로 변환하도록 더 구성된, 인공위성을 이용한 유의파고 산출 장치.

【청구항 3】

제 1 항에 있어서,
상기 반사도 산출부는,
상기 모의 밝기온도로부터 다음 수학적 식 2

[수학적 식 2]

$$R_{R,V} = b_{1,V} \cdot T_{B,V,Sim} + b_{2,V}$$

[여기서, $R_{R,V}$ 는 수직 편광 반사도를 나타내고, $b_{1,V}$, $b_{2,V}$ 는 회귀관계식의 회귀계수이고 기울기와 절편을 각각 의미하며, $T_{B,V,Sim}$ 은 모의 밝기온도를 나타내며, 첨자 V는 수직편광을 나타냄]

에 의해 수직 편광 반사도를 산출하도록 더 구성된, 인공위성을 이용한 유의파고 산출 장치.

【청구항 4】

제 1 항에 있어서,
상기 해수면 거칠기 산출부는,
상기 수직 편광 반사도 및 수평 편광 반사도로부터 다음 수학적 식 3

[수학적 식 3]

$$\sigma \approx \frac{\lambda}{4\pi \cos\theta} \cdot \sqrt{\ln\left(\frac{R_{R,H}^{\sec^2\theta}}{R_{R,V}}\right)}$$

[여기서, σ 는 해수면 거칠기를 나타내고, $R_{R,V}$ 는 수직 편광 반사도를 나타내며, $R_{R,H}$ 는 수평 편광 반사도를 나타내며, θ 는 위성천정각을 나타냄]

에 의해 해수면의 거칠기를 산출하도록 더 구성된, 인공위성을 이용한 유의파고 산출 장치.

【청구항 5】

제 1 항에 있어서,

상기 해상풍 산출부는 상기 해수면 거칠기로부터 다음 수학적 식 4

[수학적 식 4]

$$\sigma = c_1 \cdot W_s + c_2$$

[여기서, σ 는 해수면 거칠기를 나타내고, C_1 , C_2 는 회귀관계식의 회귀 계수로서 기울기와 절편을 나타내며, W_s 는 해상풍의 풍속을 나타냄]

에 의해 해상풍 풍속 정보를 산출하도록 더 구성된, 인공위성을 이용한 유의파고 산출 장치.

【청구항 6】

제 1 항에 기재된 인공위성을 이용한 유의파고 산출 장치를 이용한, 인공위성을 이용한 유의파고 산출 방법으로서:

수직 편광 밝기온도 관측부가 인공위성에 탑재된 수동형 마이크로파 센서에 의해 관측된 수직 편광 밝기온도를 입력받아 모의 밝기온도로 변환하는 단계;

반사도 산출부가 상기 모의 밝기온도 변환 단계에서 변환된 상기 모의 밝기온도를 입력받아 수직 편광 반사도를 산출함과 아울러 수치모델 자료를 복사전달모델에 입력하여 수평 편광 반사도를 산출하는 단계;

거칠기 산출부가 상기 산출된 수직 편광 반사도 및 수평 편광 반사도로부터 해수면의 거칠기를 산출하는 단계;

해상풍 산출부가 상기 해수면 거칠기 산출 단계에서 산출된 상기 해수면의 거칠기로부터 해상풍 풍속 정보를 산출하는 단계; 및

파고 정보 산출부가 상기 해상풍 산출 단계에 의해 산출된 해상풍 풍속 정보로부터 다음 수학적 식 5

[수학적 식 5]

$$SWH = a_0 + a_1 \cdot W_s + a_2 \cdot W_s^2$$

[여기서, SWH는 유의파고를 나타내며, W_s 는 해상풍 풍속을 나타내며, a_0 , a_1 및 a_2 는 회귀관계식의 회귀 계수를 나타냄]

에 의해 유의파고를 산출하는 단계를 포함하는, 인공위성을 이용한 유의파고 산출 방법.

【청구항 7】

제 6 항에 있어서,
 상기 모의 밝기온도 변환 단계는,
 상기 관측된 수직 편광 밝기온도를 다음 수학적 식 1

[수학적 식 1]

$$T_{B,H,Sim} = a_{1,H} \cdot T_{B,Obs} + a_{2,H}$$

$$T_{B,V,Sim} = a_{1,V} \cdot T_{B,Obs} + a_{2,V}$$

[여기서, $T_{B,Sim}$ 는 모의 밝기온도를 나타내고, $T_{B,Obs}$ 는 수직 편광 밝기온도를 나타내며, $a_{1,V}$, $a_{2,V}$, $a_{1,H}$, $a_{2,H}$ 는 회귀관계식의 편광별 회귀 계수와 기울기를 나타내며, 첨자 V는 수직 편광, 첨자 H는 수평편광을 나타냄]

에 의해 모의 밝기온도로 변환하는 단계를 포함하는, 인공위성을 이용한 유의파고 산출 방법.

【청구항 8】

제 6 항에 있어서,
 상기 반사도 산출 단계는,
 상기 모의 밝기온도로부터 다음 수학적 식 2

[수학적 식 2]

$$R_{R,V} = b_{1,V} \cdot T_{B,V,Sim} + b_{2,V}$$

[여기서, $R_{R,V}$ 는 수직 편광 반사도를 나타내고, $b_{1,V}$, $b_{2,V}$ 는 회귀관계식의 회귀계수이고 기울기와 절편을 각각 의미하며, $T_{B,V,Sim}$ 은 모의 밝기온도를 나타내며, 첨자 V는 수직편광을 나타냄]

에 의해 수직 편광 반사도를 산출하는 단계를 포함하는, 인공위성을 이용한 유의파고 산출 방법.

【청구항 9】

제 6 항에 있어서,
 상기 해수면 거칠기 산출 단계는,

상기 수직 편광 반사도 및 수평 편광 반사도로부터 다음 수학식 3

[수학식 3]

$$\sigma \approx \frac{\lambda}{4\pi \cos\theta} \cdot \sqrt{\ln\left(\frac{R_{R,H}^{\sec^2\theta}}{R_{R,V}}\right)}$$

[여기서, σ 는 해수면 거칠기를 나타내고, $R_{R,V}$ 는 수직 편광 반사도를 나타내며, $R_{R,H}$ 는 수평 편광 반사도를 나타내며, θ 는 위성천정각을 나타냄]

에 의해 해수면의 거칠기를 산출하는 단계를 포함하는, 인공위성을 이용한 유의파고 산출 장치.

【청구항 10】

제 6 항에 있어서,
상기 해상풍 풍속 정보 산출 단계는,
상기 해수면 거칠기로부터 다음 수학식 4

[수학식 4]

$$\sigma = c_1 \cdot W_S + c_2$$

[여기서, σ 는 해수면 거칠기를 나타내고, C_1 , C_2 는 회귀관계식의 회귀 계수로서 기울기와 절편을 나타내며, W_S 는 해상풍의 풍속을 나타냄]

에 의해 해상풍 풍속 정보를 산출하는 단계를 포함하는, 인공위성을 이용한 유의파고 산출 방법.

【요약서】

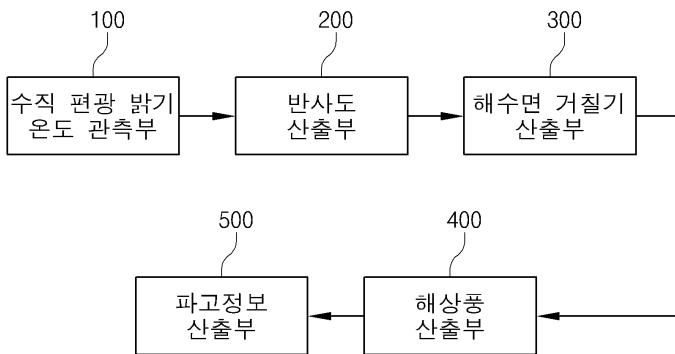
【요약】

본 발명은 인공위성에 탑재된 수동형 마이크로파 센서에 의해 관측된 밝기온도를 이용하여 해상풍 풍속 정보를 산출하고 이 산출된 해상풍 풍속 정보로부터 해수면 위의 유의파고 (SWH: Significant Wave Height) 정보를 산출하는, 인공위성을 이용한 유의파고 산출 장치 및 방법에 관한 것이다. 본 발명의 인공위성을 이용한 유의파고 산출 장치는 인공위성에 탑재된 수동형 마이크로파 센서에 의해 관측된 수직 편광 밝기온도를 입력받아 모의 밝기온도로 변환하도록 구성된 수직 편광 밝기온도 관측부; 상기 수직 편광 밝기온도 관측부에서 모의 밝기온도를 입력받아 수직 편광 반사도를 산출함과 아울러 수치모델 자료를 복사전달모델에 입력하여 수평 편광 반사도를 산출하도록 구성된 반사도 산출부; 상기 반사도 산출부에 의해 산출된 수직 편광 반사도 및 수평 편광 반사도로부터 해수면의 거칠기를 산출하도록 구성된 해수면

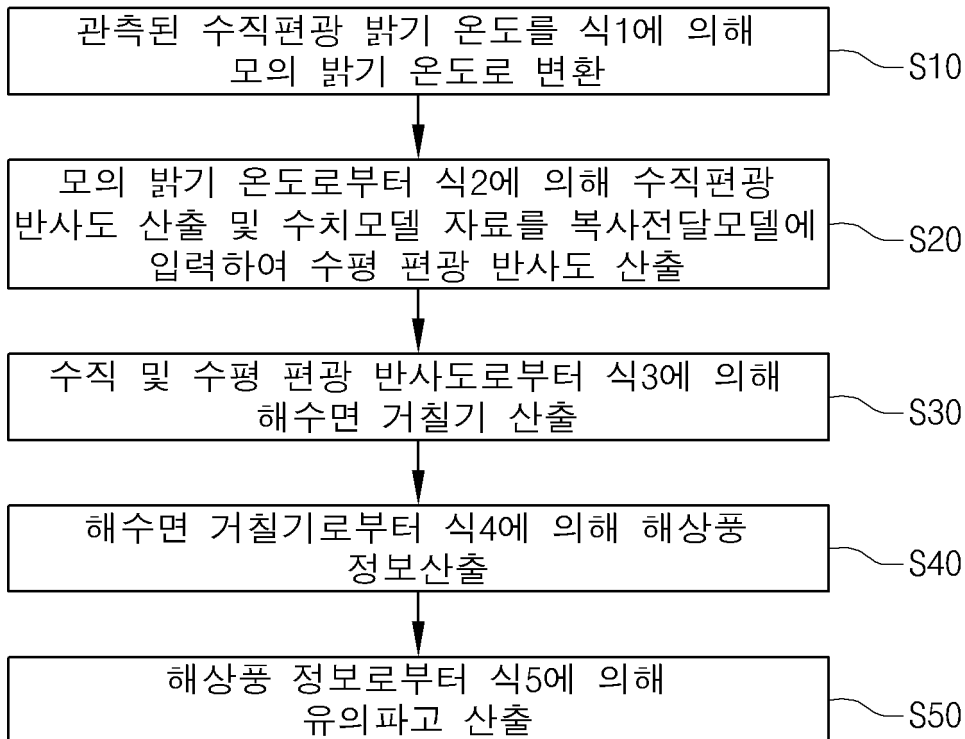
거칠기 산출부; 상기 해수면 거칠기 산출부에 의해 산출된 해수면의 거칠기로부터 해상풍 풍속 정보를 산출하도록 구성된 해상풍 산출부; 및 상기 해상풍 산출부에 의해 산출된 해상풍 풍속 정보로부터 수확식을 이용해 유의파고를 산출하도록 구성된 파고 정보 산출부를 포함한다.

【대표도】

【도 1】



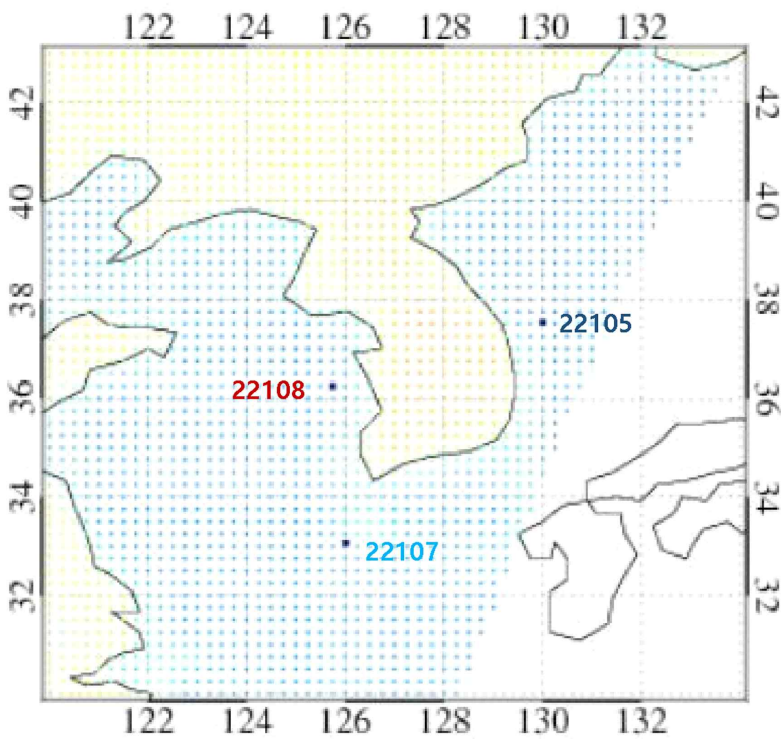
【도 2】



【도 3】

<KMA buoy 지점번호 (station)>			
지점번호	이름	경도	위도
22105:	동해 (동해)	130.0000	37.5333
22107:	마라도도 (남해)	126.0167	33.0667
22108:	외연도 (서해)	125.7500	36.2500

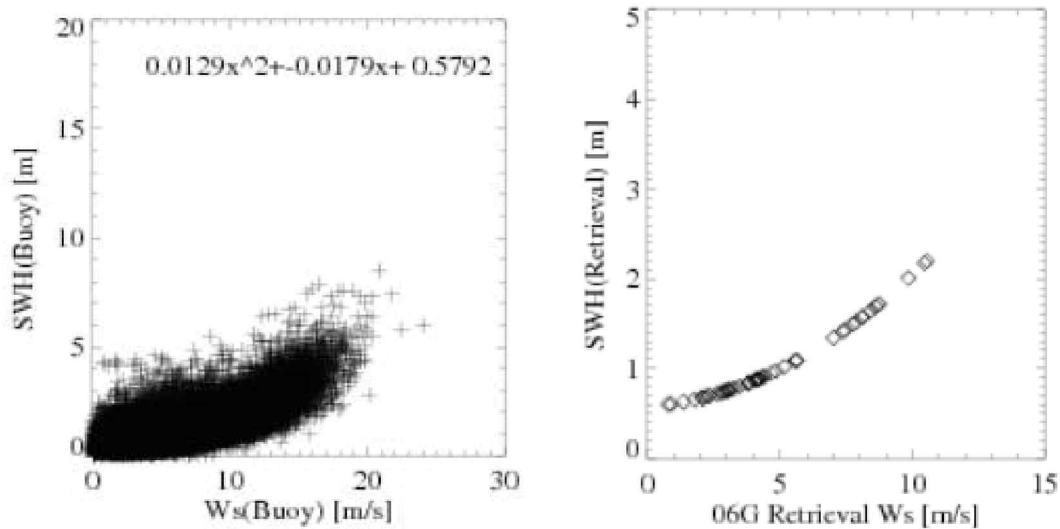
【도 4】



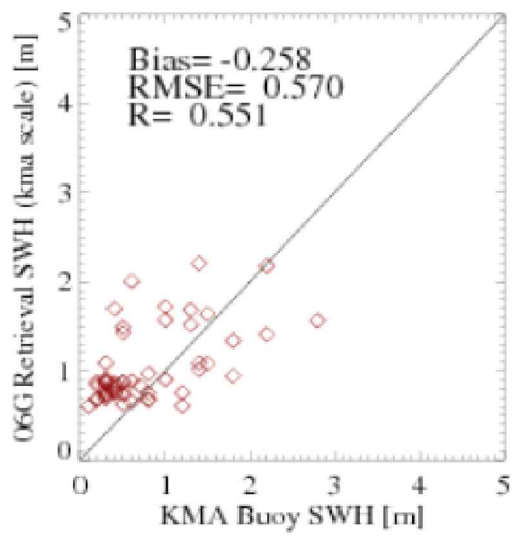
【도 5】

The Beaufort Scale	Beaufort force	Mean winds (km/hr)	Knots	Explanatory titles	Open sea international code	Probable wave heights (metres)
<p>The Beaufort Scale is useful in providing a relationship between wind strength, sea state and wave height. The scale allocates numbers to various ranges of wind speed and descriptions of the sea.</p> <p>This table summarises the main features of the scale.</p> <p>The Beaufort Scale goes up to force 17 (118 knots) but force 12 is the greatest that can be identified by the appearance of the sea.</p>	0	0	0	Calm	mirror like	0.1
	1	1 - 5	1 - 3	light air	ripples	0.2 - 0.3
	2	6 - 11	4 - 6	Light Breeze	Small wavelets	0.6 - 1.0
	3	12 - 19	7 - 10	Gentle Breeze	Large wavelets	1.0 - 1.5
	4	20 - 28	11 - 16	Moderate Breeze	Small waves	1.0 - 1.5
	5	29 - 38	17 - 21	Fresh Breeze	Moderate waves, many white horses	2.0 - 2.5
	6	39 - 49	22 - 27	Strong Breeze	Large waves - rough	3.0 - 4.0
	7	50 - 61	28 - 33	Near Gale	Very rough - Sea heaps up	4.0 - 5.5
	8	62 - 74	34 - 40	Gale	Moderately high waves	5.5 - 7.5
	9	75 - 88	41 - 47	Strong Gale	High waves - crests begin to topple	7.0 - 10
	10	89 - 103	48 - 55	Storm	Very high waves, overhanging crests	9.0 - 12.5
	11	104 - 117	56 - 63	Violent Storm	Exceptionally high waves, foam covered	11.5 - 16.0
12	118 - 133	64+	Cyclone, Hurricane	Air filled with foam driving spray	14.0	

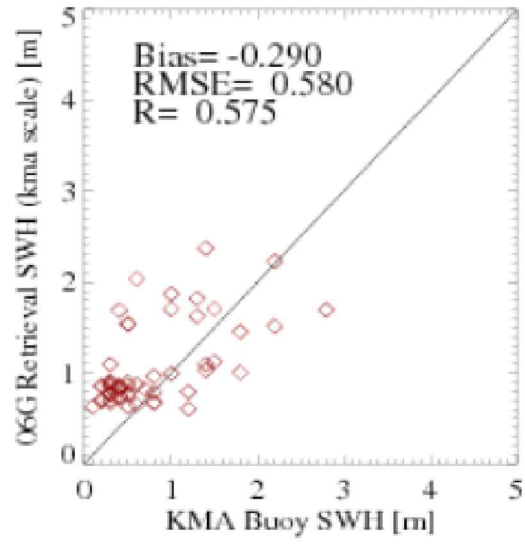
【도 6】



【도 7】

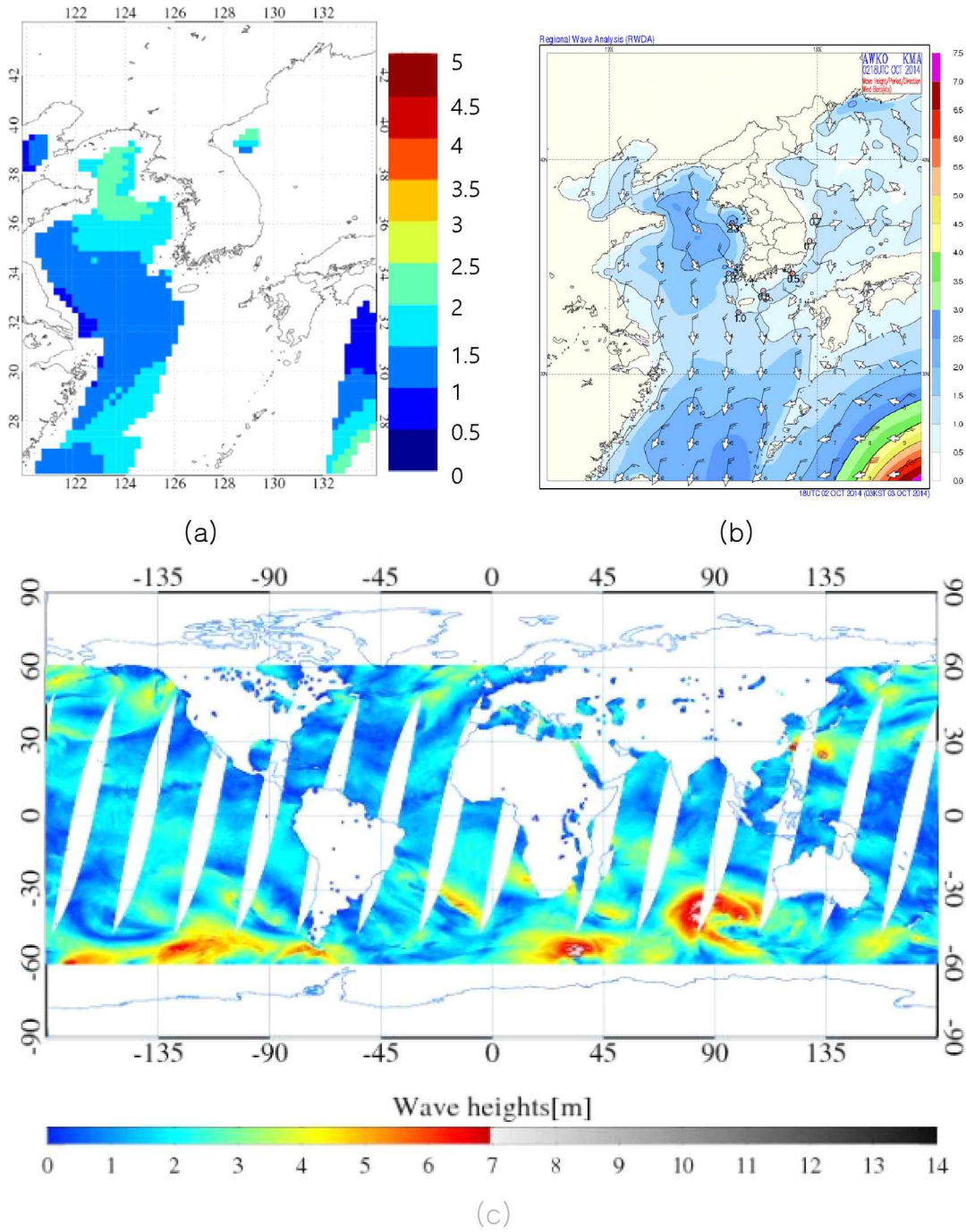


<파고-해상풍 (6.9GHz에서 관측)>



<파고-해상풍 (10GHz에서 관측)>

【도 8】



【도 9】

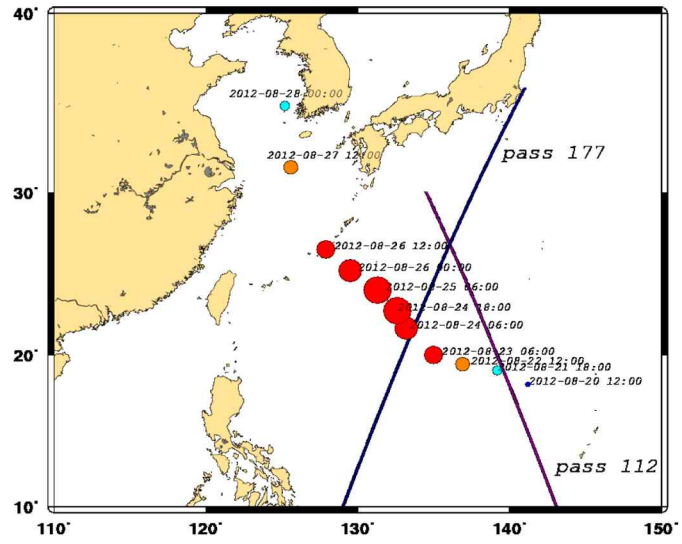
```

sat_app3@223.195.32.164/home/sat_app3/WORK/src/WVHT/a_2_calc_coefficient.pro - EditPlus
; 2차 회귀식
60 ; 2nd linear regression : regressioned AMSR-2 TB & rtm output reflectance
61 ; reflectance = 1 - emissivity 이므로 rtm_sim에 reflectance값을 줌
62 slope_rfv=regress(sim_bt看,qc_rrv, const=const)
63 offset_rfv=const
64 ;slope_rfh=regress(sim_bth,qc_rrh, const=const)
65 ;offset_rfh=const
66
67 print, '2nd linear regression : regressioned AMSR-2 TB & rtm output reflectance'
68 print, slope_rfv,offset_rfv
69
70 for i=0L,sz[1]-1 do begin
71   rfv[i]=sim_bt看[i]*slope_rfv+offset_rfv
72   rfh[i]=qc_rrh[i]
73 endfor
74
75
76 lam=30./fre
77 print, fre
78 pi=acos(-1.0)
79 theta=55.*pi/180.
80 cost=cos(theta)
81 cost2=cost^2
82 und=4.*pi*cost
83
84 defitarr(sz[1])
85 si_prf=fitarr(sz[1])
86
87
88 ; hong's approximate method
89 ;-- rfv, sim_bt看, roughness 값 출력
90 openw, lun2, './'+strcompress(dir)+''+FREQ='a_2_calc_coefficient.dat',/get_lun
91 ;
92
93 for i=0L,sz[1]-1 do begin
94
95   d[i]=(rfv[i]*(cost2))/rfh[i]
96   ;if(d1 gt 1.0) then si_69prf=(lam69/und)*sqrt(alog(d1)) else si_69prf=.999.
97   si_prf[i]=(lam/und)*sqrt(alog(d1)))
98
99   yyyyymmdd=strmid(yyyyymmddh[1],0,8)
100   printf,lun2,format('(a,1,10f)', $
101     yyyyymmdd, qc_time[1],qc_lat[1],qc_lon[1], qc_stv[1],qc_rtv[1],qc_rrv[1],qc_rrh[1],qc_ews[1], sim_bt看[i],rfv[i],si_prf[i])
102 endfor
103 close,lun2
104
105
106 print,'rough minmax:',min(si_prf),max(si_prf)
107 print,'qc_ews model wa:', min(qc_ews),max(qc_ews)
108
109 ; Se/s 기준으로 거칠기 위스 나눔
110 test1 = where(alog(d) ge 0 and qc_ews ge 5)
111 ;test1 = where(alog(d) ge 0)
112
113 test2=si_prf[test1]
114 test3=qc_ews[test1]
115
116 ;!ona test3=cnarr(test3 test3 const=const)
117
118
119
120
121
122
123
124
125
126
127
128
129
130
131
132
133
134
135
136
137
138
139
140
141
142
143
144
145
146
147
148
149
150
151
152
153
154
155
156
157
158
159
160
161
162
163
164
165
166
167
168
169
170
171
172
173
174
175
176
177
178
179
180
181
182
183
184
185
186
187
188
189
190
191
192
193
194
195
196
197
198
199
200
201
202
203
204
205
206
207
208
209
210
211
212
213
214
215
216
217
218
219
220
221
222
223
224
225
226
227
228
229
230
231
232
233
234
235
236
237
238
239
240
241
242
243
244
245
246
247
248
249
250
251
252
253
254
255
256
257
258
259
260
261
262
263
264
265
266
267
268
269
270
271
272
273
274
275
276
277
278
279
280
281
282
283
284
285
286
287
288
289
290
291
292
293
294
295
296
297
298
299
300
301
302
303
304
305
306
307
308
309
310
311
312
313
314
315
316
317
318
319
320
321
322
323
324
325
326
327
328
329
330
331
332
333
334
335
336
337
338
339
340
341
342
343
344
345
346
347
348
349
350
351
352
353
354
355
356
357
358
359
360
361
362
363
364
365
366
367
368
369
370
371
372
373
374
375
376
377
378
379
380
381
382
383
384
385
386
387
388
389
390
391
392
393
394
395
396
397
398
399
400
401
402
403
404
405
406
407
408
409
410
411
412
413
414
415
416
417
418
419
420
421
422
423
424
425
426
427
428
429
430
431
432
433
434
435
436
437
438
439
440
441
442
443
444
445
446
447
448
449
450
451
452
453
454
455
456
457
458
459
460
461
462
463
464
465
466
467
468
469
470
471
472
473
474
475
476
477
478
479
480
481
482
483
484
485
486
487
488
489
490
491
492
493
494
495
496
497
498
499
500
501
502
503
504
505
506
507
508
509
510
511
512
513
514
515
516
517
518
519
520
521
522
523
524
525
526
527
528
529
530
531
532
533
534
535
536
537
538
539
540
541
542
543
544
545
546
547
548
549
550
551
552
553
554
555
556
557
558
559
560
561
562
563
564
565
566
567
568
569
570
571
572
573
574
575
576
577
578
579
580
581
582
583
584
585
586
587
588
589
590
591
592
593
594
595
596
597
598
599
600
601
602
603
604
605
606
607
608
609
610
611
612
613
614
615
616
617
618
619
620
621
622
623
624
625
626
627
628
629
630
631
632
633
634
635
636
637
638
639
640
641
642
643
644
645
646
647
648
649
650
651
652
653
654
655
656
657
658
659
660
661
662
663
664
665
666
667
668
669
670
671
672
673
674
675
676
677
678
679
680
681
682
683
684
685
686
687
688
689
690
691
692
693
694
695
696
697
698
699
700
701
702
703
704
705
706
707
708
709
710
711
712
713
714
715
716
717
718
719
720
721
722
723
724
725
726
727
728
729
730
731
732
733
734
735
736
737
738
739
740
741
742
743
744
745
746
747
748
749
750
751
752
753
754
755
756
757
758
759
760
761
762
763
764
765
766
767
768
769
770
771
772
773
774
775
776
777
778
779
780
781
782
783
784
785
786
787
788
789
790
791
792
793
794
795
796
797
798
799
800
801
802
803
804
805
806
807
808
809
810
811
812
813
814
815
816
817
818
819
820
821
822
823
824
825
826
827
828
829
830
831
832
833
834
835
836
837
838
839
840
841
842
843
844
845
846
847
848
849
850
851
852
853
854
855
856
857
858
859
860
861
862
863
864
865
866
867
868
869
870
871
872
873
874
875
876
877
878
879
880
881
882
883
884
885
886
887
888
889
890
891
892
893
894
895
896
897
898
899
900
901
902
903
904
905
906
907
908
909
910
911
912
913
914
915
916
917
918
919
920
921
922
923
924
925
926
927
928
929
930
931
932
933
934
935
936
937
938
939
940
941
942
943
944
945
946
947
948
949
950
951
952
953
954
955
956
957
958
959
960
961
962
963
964
965
966
967
968
969
970
971
972
973
974
975
976
977
978
979
980
981
982
983
984
985
986
987
988
989
990
991
992
993
994
995
996
997
998
999
1000
1001
1002
1003
1004
1005
1006
1007
1008
1009
1010
1011
1012
1013
1014
1015
1016
1017
1018
1019
1020
1021
1022
1023
1024
1025
1026
1027
1028
1029
1030
1031
1032
1033
1034
1035
1036
1037
1038
1039
1040
1041
1042
1043
1044
1045
1046
1047
1048
1049
1050
1051
1052
1053
1054
1055
1056
1057
1058
1059
1060
1061
1062
1063
1064
1065
1066
1067
1068
1069
1070
1071
1072
1073
1074
1075
1076
1077
1078
1079
1080
1081
1082
1083
1084
1085
1086
1087
1088
1089
1090
1091
1092
1093
1094
1095
1096
1097
1098
1099
1100
1101
1102
1103
1104
1105
1106
1107
1108
1109
1110
1111
1112
1113
1114
1115
1116
1117
1118
1119
1120
1121
1122
1123
1124
1125
1126
1127
1128
1129
1130
1131
1132
1133
1134
1135
1136
1137
1138
1139
1140
1141
1142
1143
1144
1145
1146
1147
1148
1149
1150
1151
1152
1153
1154
1155
1156
1157
1158
1159
1160
1161
1162
1163
1164
1165
1166
1167
1168
1169
1170
1171
1172
1173
1174
1175
1176
1177
1178
1179
1180
1181
1182
1183
1184
1185
1186
1187
1188
1189
1190
1191
1192
1193
1194
1195
1196
1197
1198
1199
1200
1201
1202
1203
1204
1205
1206
1207
1208
1209
1210
1211
1212
1213
1214
1215
1216
1217
1218
1219
1220
1221
1222
1223
1224
1225
1226
1227
1228
1229
1230
1231
1232
1233
1234
1235
1236
1237
1238
1239
1240
1241
1242
1243
1244
1245
1246
1247
1248
1249
1250
1251
1252
1253
1254
1255
1256
1257
1258
1259
1260
1261
1262
1263
1264
1265
1266
1267
1268
1269
1270
1271
1272
1273
1274
1275
1276
1277
1278
1279
1280
1281
1282
1283
1284
1285
1286
1287
1288
1289
1290
1291
1292
1293
1294
1295
1296
1297
1298
1299
1300
1301
1302
1303
1304
1305
1306
1307
1308
1309
1310
1311
1312
1313
1314
1315
1316
1317
1318
1319
1320
1321
1322
1323
1324
1325
1326
1327
1328
1329
1330
1331
1332
1333
1334
1335
1336
1337
1338
1339
1340
1341
1342
1343
1344
1345
1346
1347
1348
1349
1350
1351
1352
1353
1354
1355
1356
1357
1358
1359
1360
1361
1362
1363
1364
1365
1366
1367
1368
1369
1370
1371
1372
1373
1374
1375
1376
1377
1378
1379
1380
1381
1382
1383
1384
1385
1386
1387
1388
1389
1390
1391
1392
1393
1394
1395
1396
1397
1398
1399
1400
1401
1402
1403
1404
1405
1406
1407
1408
1409
1410
1411
1412
1413
1414
1415
1416
1417
1418
1419
1420
1421
1422
1423
1424
1425
1426
1427
1428
1429
1430
1431
1432
1433
1434
1435
1436
1437
1438
1439
1440
1441
1442
1443
1444
1445
1446
1447
1448
1449
1450
1451
1452
1453
1454
1455
1456
1457
1458
1459
1460
1461
1462
1463
1464
1465
1466
1467
1468
1469
1470
1471
1472
1473
1474
1475
1476
1477
1478
1479
1480
1481
1482
1483
1484
1485
1486
1487
1488
1489
1490
1491
1492
1493
1494
1495
1496
1497
1498
1499
1500
1501
1502
1503
1504
1505
1506
1507
1508
1509
1510
1511
1512
1513
1514
1515
1516
1517
1518
1519
1520
1521
1522
1523
1524
1525
1526
1527
1528
1529
1530
1531
1532
1533
1534
1535
1536
1537
1538
1539
1540
1541
1542
1543
1544
1545
1546
1547
1548
1549
1550
1551
1552
1553
1554
1555
1556
1557
1558
1559
1560
1561
1562
1563
1564
1565
1566
1567
1568
1569
1570
1571
1572
1573
1574
1575
1576
1577
1578
1579
1580
1581
1582
1583
1584
1585
1586
1587
1588
1589
1590
1591
1592
1593
1594
1595
1596
1597
1598
1599
1600
1601
1602
1603
1604
1605
1606
1607
1608
1609
1610
1611
1612
1613
1614
1615
1616
1617
1618
1619
1620
1621
1622
1623
1624
1625
1626
1627
1628
1629
1630
1631
1632
1633
1634
1635
1636
1637
1638
1639
1640
1641
1642
1643
1644
1645
1646
1647
1648
1649
1650
1651
1652
1653
1654
1655
1656
1657
1658
1659
1660
1661
1662
1663
1664
1665
1666
1667
1668
1669
1670
1671
1672
1673
1674
1675
1676
1677
1678
1679
1680
1681
1682
1683
1684
1685
1686
1687
1688
1689
1690
1691
1692
1693
1694
1695
1696
1697
1698
1699
1700
1701
1702
1703
1704
1705
1706
1707
1708
1709
1710
1711
1712
1713
1714
1715
1716
1717
1718
1719
1720
1721
1722
1723
1724
1725
1726
1727
1728
1729
1730
1731
1732
1733
1734
1735
1736
1737
1738
1739
1740
1741
1742
1743
1744
1745
1746
1747
1748
1749
1750
1751
1752
1753
1754
1755
1756
1757
1758
1759
1760
1761
1762
1763
1764
1765
1766
1767
1768
1769
1770
1771
1772
1773
1774
1775
1776
1777
1778
1779
1780
1781
1782
1783
1784
1785
1786
1787
1788
1789
1790
1791
1792
1793
1794
1795
1796
1797
1798
1799
1800
1801
1802
1803
1804
1805
1806
1807
1808
1809
1810
1811
1812
1813
1814
1815
1816
1817
1818
1819
1820
1821
1822
1823
1824
1825
1826
1827
1828
1829
1830
1831
1832
1833
1834
1835
1836
1837
1838
1839
1840
1841
1842
1843
1844
1845
1846
1847
1848
1849
1850
1851
1852
1853
1854
1855
1856
1857
1858
1859
1860
1861
1862
1863
1864
1865
1866
1867
1868
1869
1870
1871
1872
1873
1874
1875
1876
1877
1878
1879
1880
1881
1882
1883
1884
1885
1886
1887
1888
1889
1890
1891
1892
1893
1894
1895
1896
1897
1898
1899
1900
1901
1902
1903
1904
1905
1906
1907
1908
1909
1910
1911
1912
1913
1914
1915
1916
1917
1918
1919
1920
1921
1922
1923
1924
1925
1926
1927
1928
1929
1930
1931
1932
1933
1934
1935
1936
1937
1938
1939
1940
1941
1942
1943
1944
1945
1946
1947
1948
1949
1950
1951
1952
1953
1954
1955
1956
1957
1958
1959
1960
1961
1962
1963
1964
1965
1966
1967
1968
1969
1970
1971
1972
1973
1974
1975
1976
1977
1978
1979
1980
1981
1982
1983
1984
1985
1986
1987
1988
1989
1990
1991
1992
1993
1994
1995
1996
1997
1998
1999
2000
2001
2002
2003
2004
2005
2006
2007
2008
2009
2010
2011
2012
2013
2014
2015
2016
2017
2018
2019
2020
2021
2022
2023
2024
2025
2026
2027
2028
2029
2030
2031
2032
2033
2034
2035
2036
2037
2038
2039
2040
2041
2042
2043
2044
2045
2046
2047
2048
2049
2050
2051
2052
2053
2054
2055
2056
2057
2058
2059
2060
2061
2062
2063
2064
2065
2066
2067
2068
2069
2070
2071
2072
2073
2074
2075
2076
2077
2078
2079
2080
2081
2082
2083
2084
2085
2086
2087
2088
2089
2090
2091
2092
2093
2094
2095
2096
2097
2098
2099
2100
2101
2102
2103
2104
2105
2106
2107
2108
2109
2110
2111
2112
2113
2114
2115
2116
2117
2118
2119
2120
2121
2122
2123
2124
2125
2126
2127
2128
2129
2130
2131
2132
2133
2134
2135
2136
2137
2138
2139
2140
2141
2142
2143
2144
2145
2146
2147
2148
2149
2150
2151
2152
2153
2154
2155
2156
2157
2158
2159
2160
2161
2162
2163
2164
2165
2166
2167
2168
2169
2170
2171
2172
2173
2174
2175
2176
2177
2178
2179
2180
2181
2182
2183
2184
2185
2186
2187
2188
2189
2190
2191
2192
2193
2194
2195
2196
2197
2198
2199
2200
2201
2202
2203
2204
2205
2206
2207
2208
2209
2210
2211
2212
2213
2214
2215
2216
2217
2218
2219
2220
2221
2222
2223
2224
2225
2226
2227
2228
2229
2230
2231
2232
2233
2234
2235
2236
2237
2238
2239
2240
2241
2242
2243
2244
2245
2246
2247
2248
2249
2250
2251
2252
2253
2254
2255
2256
2257
2258
2259
2260
2261
2262
2263
2264
2265
2266
2267
2268
2269
2270
2271
2272
2273
2274
2275
2276
2277
2278
2279
2280
2281
2282
2283
2284
2285
2286
2287
2288
2289
2290
2291
2292
2293
2294
2295
2296
2297
2298
2299
2300
2301
2302
2303
2304
2305
2306
2307
2308
2309
2310
2311
2312
2313
2314
2315
2316
2317
2318
2319
2320
2321
2322
2323
2324
2325
2326
2327
2328
2329
2330
2331
2332
2333
2334
2335
2336
2337
2338
2339
2340
2341
2342
2343
2344
2345
2346
2347
2348
2349
2350
2351
2352
2353
2354
2355
2356
2357
2358
2359
2360
2361
2362
2363
2364
2365
2366
2367
2368
2369
2370
2371
2372
2373
2374
2375
2376
2377
2378
2379
2380
2381
2382
2383
2384
2385
2386
2387
2388
2389
2390
2391
2392
2393
2394
2395
2396
2397
2398
2399
2400
2401
2402
2403
2404
2405
2406
2407
2408
2409
2410
2411
2412
2413
2414
2415
2416
2417
2418
2419
2420
2421
2422
2423
2424
2425
2426
2427
2428
2429
2430
2431
2432
2433
2434
2435
2436
2437
2438
2439
2440
2441
2442
2443
2444
2445
2446
2447
2448
2449
2450
2451
2452
2453
2454
2455
2456
2457
2458
2459
2460
2461
2462
2463
2464
2465
2466
2467
2468
2469
2470
2471
2472
2473
2474
2475
2476
2477
2478
2479
2480
2481
2482
2483
2484
2485
2486
2487
2488
2489
2490
2491
2492
2493
2494
2495
2496
2497
2498
2499
2500
2501
2502
2503
2504
2505
2506
2507
2508
2509
2510
2511
2512
2513
2514
2515
2516
2517
2518
2519
2520
2521
2522
2523
2524
2525
2526
2527
2528
2529
2530
2531
2532
2533
2534
2535
2536
2537
2538
2539
2540
2541
2542
2543
2544
2545
2546
2547
2548
2549
2550
2551
2552
2553
2554
2555
2556
2557
2558
2559
2560
2561
2562
2563
2564
2565
2566
2567
2568
2569
2570
2571
2572
2573
2574
2575
2576
2577
2578
2579
2580
2581
2582
2583
2584
2585
2586
2587
2588
2589
2590
2591
```

【도 11】



(a)



(b)